

أداء الأخطاء المسموح به في مسیر رقمي افتراضي مرجعي من الخدمة الثابتة الساتلية يعمل تحت 15 GHz ويشکل جزءاً من توصیل دولی في شبكة رقمیة متکاملة الخدمات*

(2005-1994-1992-1990-1986)

إن جمیع الاتصالات الرادیویة التابعة للاتحاد الدولی للاتصالات،

إذ تضع في اعتبارها

- أ) أن مفهوم الشبکة الرقمیة متکاملة الخدمات (ISDN) قد عرفة القطاع تقییس الاتصالات؛
- ب) أن السواتل العاملة في الخدمة الثابتة الساتلية (FSS) سوف تلعب دوراً مهماً في تعمیم مفهوم الشبکة ISDN على التوصیلات الدولیة؛
- ج) أن أداءً مقبولاً من الأخطاء هو خاصیة أساسیة في أي نظام إرسال رقمي؛
- د) أن قطاع تقییس الاتصالات قد حدد في التوصیة G.821 أداء الأخطاء في توصیل رقمي دولی يشکل جزءاً من شبکة ISDN بمعدل 64 kbit/s.
- هـ) أن تکالیف تشغیل الأنظمة الساتلية للاتصالات الرقمیة وصیانتها تتعلّقان بأداء الأخطاء الإجمالي تعلقاً وثیقاً؛
- و) أنه يجب مراعاة جميع آليات الأخطاء التي يمكن توقعها ولا سيما شروط الانتشار المتغیرة زمنیاً والتداخل، من أجل تعريف مقاییس أداء الأخطاء،

وإذ تلاحظ

- 1 وجود مسمارات رقمیة افتراضیة مرجعیة ساتلیة (HRDP) ما تزال في التشغیل وكانت قد صمممت مع مراعاة أهداف التوصیة ITU-T G.821 بما فيها معلمیة "الدقیقة المترددة" التي ألغیت فيما بعد في طبعة عام 1996 للتوصیة G.821.

توصیی

1. فيما يتعلق بقيم معدل الخطأ في البتات (BER) (انظر الملاحظة 2) عند خرج مسیر رقمي افتراضي مرجعي ساتلی (HRDP) يعمل تحت 15 GHz جزءاً من توصیل في الشبکة ISDN بمعدل قدره 64 kbit/s، بآلا تتجاوز، أثناء وقت التیسر، القيم التالیة:

1×10^{-7} خلال أكثر من 10% من شهر ما،	1.1
1×10^{-6} خلال أكثر من 2% من شهر ما،	2.1
1×10^{-3} خلال أكثر من 0,03% من شهر ما، (انظر الملاحظة 5)؛	3.1

* تحیل هذه النسخة من التوصیة إلى مشروع التوصیة ITU-T G.821 الذي أُعد قبل 1996 عندما ألغیت معلمیة الدقیقة المترددة. وينبغی أن تستند جميع تصامیم الأنظمة الساتلیة اللاحقة إلى أحدث طبعة للتوصیة ITU-R S.1062.

2. أن تعتبر الملاحظات التالية جزءاً من هذه التوصية.

الملاحظة 1 - حددت مواصفات الفقرة 1 من خلال تطبيق الطريقة الموصوفة في الملحق 1. وهي كافية لتحقيق أهداف أداء الأخطاء الموصى بها في التوصية ITU-T G.821 بالنسبة إلى مسیر HRDP من الخدمة الثابتة الساتلية (FSS) في كل ظروف التشغيل المتوقعة. أما التوزيع الذي أوصى به القطاع ITU-T بالنسبة إلى مسیر HRDP من الخدمة FSS والذي يعتبر مطابقاً على الوقت المتيسر خلال فترة تصل إلى حوالي شهر ما، فهو كالتالي:

- يمكن أن تكون نسبة الخطأ في البتات أسوأ من 1×10^{-6} في أقل من 2% من الفوائل الزمنية البالغة دقة واحدة،
- يمكن أن تكون نسبة الخطأ في البتات أسوأ من 1×10^{-3} في أقل من 0,03% من الفوائل الزمنية البالغة ثانية واحدة،
- يمكن أن يحتوي أقل من 1,6% من فوائل الثانية على أخطاء.

الملاحظة 2 - تفاصي مدارات الخطأ في البتات المحدثة في الفقرة 1 أثناء فترة طويلة من الزمن تكفي لإعطاء تقدير جيد عن احتمال الخطأ في البتات (انظر الملحق 1).

الملاحظة 3 - حددت مدارات الخطأ في البتات (BER) المبينة في هذه التوصية بناء على الفرضية التي تنص على أن المساهمات في الثنائي شديدة الأخطاء تنتج عن آليتين مختلفتين تولدان الأخطاء: إحداهما تلك التي تحدث عشوائياً، والأخرى تلك التي تحدث على شكل رشقات. وتحمل الأخطاء في غالب الأحيان طابعاً عشوائياً وهي محددة بمواصفات الفقرتين 1.1 و 2.1. أما الثنائي شديدة الأخطاء، فستثنى من قياسات الأخطاء العشوائية الحقيقة من مواصفات الفقرتين 1.1 و 2.1. ولكنها تبقى متضمنة في مواصفات الفقرة 3.1 (انظر الملحق 1).

الملاحظة 4 - يوفر معدل الأخطاء BER المحدد في الفقرة 1 هامشاً لبعض رزم الأخطاء التي قد تنتج عن مصادر مذكورة في الملحق 1.

الملاحظة 5 - تتعلق قيمة 0,03% من شهر ما بالمعدل BER المقيس خلال وقت التيسير. ويتحقق هذا المدف عندهما يستحب تصميم نظام ساتلي لمدف في عدم التيسير قدره 0,2% من الشهر الأسوأ (الوقت الإجمالي). وقد يقابل عامل تيسير قدره 10% (نسبة وقت التيسير إلى الوقت الإجمالي الذي يفوق المعدل BER في أثناء قيمة 10^{-3} نسبة 0,02%).

ويجب التحسب إضافة إلى ذلك، لنسبة مسموح بها قدرها 0,01% من الشهر الأسوأ وذلك من أجل مراعاة المساهمات في الثنائي شديدة الأخطاء والتي تحدث عندما يقل المعدل BER عن 10^{-3} . يؤدي مجموع هاتين النسبتين المسموح بهما إلى هدف كلي للأداء قدره 0,03% من وقت التيسير في الشهر الأسوأ (انظر الملحق 1).

الملاحظة 6 - تحدد مواصفات المسير الرقمي الافتراضي المرجعي (HRDP) المذكور في هذه التوصية، في التوصية ITU-R S.521.

الملاحظة 7 - قد يكون من الضروري في المستقبل التحسب لقيم خاصة فيما يتعلق بأداء الوصلات ما بين السواتل. ويجب أن تشكل هذه القيم موضوعاً للدراسة تكميلية.

الملاحظة 8 - لا تطبق التوصية إلا عند اعتبار النظام متيسراً وفقاً لتعريف التوصية ITU-R S.579 ويشمل فترات من المدارات BER العالية (أي التي تفوق 10^{-3}) تستمر في أثناء فترات مقابلة لأقل من 10 ثوان متتالية. وتعتبر الانقطاعات القصيرة (أقل من عشر ثوان) كما لو أنها مكافئة للحالة التي تتجاوز فيها قيمة المعدل BER 10^{-3} .

الملاحظة 9 - تصمم أهداف الأخطاء المحددة في هذه التوصية من أجل الاستجابة للأداء من طرف المحدد للدارة بمقدمة بمعدل kbit/s 64 من توصيل ISDN مطابق للتوصية ITU-T G.821. وتعرض التوصية ITU-R S.522 أهداف الأداء الخاصة بأنظمة ساتلية للمهاتفة المشفرة PCM في توصيل لا ينتمي إلى شبكة ISDN. ويمكن استعمال التوصية ITU-R S.614 في تصميم الأنظمة الساتلية التي تسير أشكالاً أخرى من المعلومات الرقمية مثل المطبيات في النطاق الصوتي (كالطبصلة) أو الكلام بتشغير منخفض المعدل (LRE) (أقل من kbit/s 64)، إلى أن تستكمل الدراسات الخاصة بهذا الموضوع والتي قد تؤدي إلى تحديد أهداف محسنة للأداء.

الملاحظة 10 - لا تعتبر أهداف المعدلات BER المشار إليها في الفقرة 1 فريدة في استجابتها لأهداف الأداء المطلوبة الواردة في التوصية ITU-T G.821. ويستطيع المصمم استعمال أقnea مختلفة للمعدلات BER عندما تدعو الحاجة لذلك طالما أن هذه الأقnea تطابق أحكام التوصية ITU-T G.821. ويعرض الملحق 1 أمثلة عن أقnea بديلة.

الملاحظة 11 - يستحسن تحضير الأنظمة بناء على تغطية معطيات الانتشار لفترة تمتد إلى 4 سنوات على الأقل. وينبغي تحديد الأداء الموصى بتتحققه في "أي شهر"، بناء على معطيات الانتشار المقابلة لمتوسط "أسوأ شهر من السنة". وتحدد هذه القيمة الأخيرة استناداً إلى الإحصائيات الشهرية لكل السنوات التي تتوفرت في أثنائها معطيات تم.

الملاحظة 12 - حدد أداء الأخطاء المذكور في الفقرة 1 بناء على استعمال المسير HRDP في قسم التوصيل الافتراضي المرجعي (HRX) ("على الجودة" (انظر التوصية ITU-T G.821)). وثمة تطبيقات أخرى ممكنة للمسير HRDP في التوصيل HRX. ويمكن ضبط أهداف أداء الأخطاء وفقاً لها.

الملاحظة 13 - قد يتبيّن، أن التقيد بالقيم المذكورة في الفقرة 1 من أجل أنظمة تشغّل تحت تردد 10 GHz، يتطلّب استخدام استراتيجيات وتقنيات تعويضية توفر لها التوصية ITU-R S.1061 التوجيهات الأساسية.

الملاحظة 14 - يصف الملحق 1 طريقة لقياس المعدلات BER وفقاً للنسبة المئوية من الوقت.

الملحق 1

خصائص مسیر رقمی افتراضی مرجعي في الخدمة الثابتة الساتلية يشکل جزءاً من شبكة رقمية متکاملة الخدمات

مقدمة

1

يعالج الملحق أهداف الأداء التي يجب أن يحققها مسیر HRDP من الخدمة FSS عندما يشكل جزءاً من توصيل افتراضي مرجعي (HRX) داخل شبكة ISDN. ويعرف التوصيل HRX التابع للشبكة ISDN في حالة توصيل بتبديل الدارات ومعدل قدره kbit/s 64 في التوصية ITU-T G.821 CCITT الكتاب الأزرق، 1988، الكتيب 3 (III.3) التي تصنف الدارات ضمن ثلاث فئات جودة محلية للأداء وجودة متوسطة، وجودة عالية. وتعتبر الدارات الدولية الساتلية جزءاً من القسم ذي أداء عالي الجودة.

ويعرض في الأقسام التالية من هذا الملحق توزيع أهداف الأداء الإجمالية، بالنسبة إلى التوصيل HRX للشبكة ISDN في الخدمة FSS، وتأنير هذا التوزيع في تصميم أنظمة الخدمة الثابتة الساتلية.

قوّات ساتلية بمعدل kbit/s 64 تشكّل جزءاً من المسير HRX في الشبكة ISDN 2

مواصفات الأداء للمسير الافتراضي المرجعي HRDP في الخدمة FSS 1.2

أهداف الأداء فيما يتعلق بأخطاء الأنظمة الساتلية 1.1.2

يوصف أداء الأنظمة الساتلية عادة، وفقاً لاحتمال الخطأ في البتات. بينما تعرف التوصية ITU-T G.821 إلى فواصل زمنية تقتضي وجود معدل مميز من الأخطاء في أثناء نسب مئوية معينة من الزمن تحدد على مدى فترة طويلة تصل إلى حوالي الشهر. وتصف هذه الفقرة الطريقة التي استعملت من أجل تحويل مواصفات القطاع ITU-T أي شكل أهداف للأداء المستعمل في الأنظمة الساتلية، وتعطي مواصفات أداء المسير HRDP الناتجة عن تطبيق هذه الطريقة على القيم المذكورة في التوصية ITU-T G.821.

ولقد جرى تمييز دقيق في هذا الملحق بين احتمال الخطأ في البتات (BEP) ومعدل الخطأ في البتات (BER). ويعتبر احتمال الخطأ في البتات الذي استعمل في الفقرات التالية استعمالاً واسعاً، بمثابة كمية مجردة مستخدمة للتعبير عن الأداء النظري لتجهيز خاص بإرسال المعطيات. وأن المعدل BER كمية يمكن قياسها مباشرة (أي الأخطاء في البتات إلى البتات المرسلة). ويمكن من خلال إجراء عدد كافٍ من القياسات توفر مدة كافية للكل قياس منها أن يحدد احتمال الخطأ BEP بالدقة المرجوة.

التوصية 4 ITU-R S.614-4

وتكمّن الطريقة المستخدمة في هذا الملحق في الافتراض بأن أداء وصلة النظام الساتلي (معدل kbit/s 64 محدد بآليات ذات طبيعة عشوائية في أساسها، ويمكن تحليلها بواسطة مقاربة " بواسون" (Poisson) أو بواسطة مقاربة تسمح بحساب احتمال مواجهة عدد معين من الأخطاء أثناء فاصل زمني محدد ومع احتمال معين للأخطاء في البتات. وينبغي أيضاً لتصميمي النظام أن يحدروه في التطبيق العملي من أن هناك رزماً من الأخطاء قد لا تكشف في هذه الطريقة (تصف الفقرة 2.2 بعض الآليات التي قد تولد هذا النمط من الرزم)، ويرصدون هوامش كافية لتغطية هذه التأثيرات.

وتعالج الفقرة 5 رزم الأخطاء العائدة إلى تقنيات تصحيح الأخطاء.

2.1.2 الشروط المحددة في التوصية ITU-T G.821

يلخص الجدول 1 أهداف الأداء من طرف إلى طرف المبينة في التوصية ITU-T G.821 والأهداف الخاصة بالمسير الساتلي HRDP، وتحدد، بالنسبة إلى كل تصنيف للأداء شروط الأداء الإجمالي من طرف إلى طرف والشروط المفروضة على مسیر ساتلي HRDP.

3.1.2 نماذج احتمال الخطأ في البتات BEP اللازمة للاستجابة لأحكام التوصية ITU-T G.821

تصف الفقرة 3 الطريقة التي تسمح بتحليل احتمال الخطأ BEP بدلالة نسبة التوزيع الزمني المئوية، ووفقاً للمعلمات المذكورة في الجدول 1. وقد أصبح من الممكن عن طريق تطبيق هذا الإجراء، استتقاق عدد معين من التوزيعات أو النماذج ترتكز على الخصائص العامة لأنظمة الساتلية وتستجيب للأهداف المذكورة في التوصية ITU-T G.821، أو تتجاوزها.

لخلص في هذا الملحق نموذج واحد فقط من بين النماذج المذكورة في الفقرة 3. ويتحقق هذا النموذج تسوية فيما بين متطلبات الأنظمة الحديثة بالانتشار والتي تعمل فوق 10 GHz متطلبات الأنظمة المحدودة بالتدخل والتي تعمل تحت 10 GHz. ويمكن الاستجابة للشروط المقابلة من خلال الأنظمة الساتلية كبيرة السعة والحقيقة وفقاً للتقنيات الحالية.

ويأخذ احتمال الخطأ BEP في هذا النموذج القيم التالية التي تشير إليها نقاط قطع المنحنى المبين في الشكل 3:

$$- \quad - \quad 1 \times 10^{-7} \text{ في أثناء } 90\% \text{ من الشهر الأسوأ,}$$

$$- \quad - \quad 1 \times 10^{-6} \text{ في أثناء } 98\% \text{ من الشهر الأسوأ.}$$

ويلخص أداء هذا النموذج في الجدول 2 المصطلحات الدقائق المنحطة والثوانى الخاطئة والثانوى شديدة الأخطاء. ويحدد هذا الأداء بدلالة الوقت الإجمالي والوقت المتبسر، الأمر الذي يبين العلاقة القائمة بين حسابات تصميم الأنظمة وأهداف التوصية .ITU-T G.821

الجدول 1

**أهداف الأداء الإجمالي من طرف إلى طرف والأهداف الخاصة
بمسير ساتلي HRDP في حالة توصيات دولية ISDN**

المدار لاتصال HRDP ساتلي (الملاحظة 4)	المدار الإجمالي من طرف إلى طرف (الملاحظة 4)	
أقل من 2% من فوائل بدقة واحدة ذات معدل خطأ في البتات أسوأ من 1×10^{-6} (الملاحظة 4)	أقل من 10% من فوائل بدقة واحدة ذات معدل خطأ في البتات أسوأ من 1×10^{-6} (الملاحظة 3)	(أ) (دائق منحطة) (الملاحظتان 1 و 2)
أقل من 0,03% من فوائل ثنائية واحدة ذات معدل خطأ في البتات أسوأ من 1×10^{-3}	أقل من 0,2% من فوائل ثنائية واحدة ذات معدل خطأ في البتات أسوأ من 1×10^{-3}	(ب) (ثوان شديدة الأخطاء) (الملاحظة 1)
أقل من 1,6% من فوائل ثنائية واحدة تحتوي على أخطاء (يواري 98,4% من ثوان حالية من الأخطاء)	أقل من 8% من فوائل ثنائية واحدة تحتوي على أخطاء (يواري 92% من ثوان حالية من الأخطاء)	(ج) (ثوان حاطنة) (الملاحظة 1)

الملاحظة 1 - تستعمل عبارات "الدائق منحطة" و "الثوان شديدة الأخطاء" و "الثوان حاطنة" باعتبارها معرفاً لمدار الأداء عملياً وموجزاً. ولا تعني أن هذه السوية من الأداء مقبولة. أو غير مقبولة.

الملاحظة 2 - يتم الحصول على فوائل الدقيقة الواحدة المذكورة أعلاه، من خلال طرح وقت عدم التيسير والثوان شديدة الأخطاء من الوقت الإجمالي، ومن ثم يصار إلى تجميع الأخطاء المتبقية إلى فدر من 60.

الملاحظة 3 - لا تعتبر الدقيقة منحطة حين تكون معدل 64 kbit/s وتحتوي على أربعة أخطاء (يواري معدلاً للخطأ بقدر $1,04 \times 10^{-6}$)، وذلك لأنساب عملية. وهذا لا يعني وجوب التخلص عن هدف لمعدل الأخطاء يساوي 1×10^{-6} .

الملاحظة 4 - يعبر عن أهداف الأداء الإجمالي من طرف إلى طرف والأهداف الخاصة بالمسير الساتلي HRDP، بالوقت المتسير (انظر الفقرة 5.1.2).

وقدرت نقطة القطع قصيرة الأجل (انظر الملاحظة 1) (أي احتمال BEP يساوي 10-3) المستعملة في هذه النماذج بنسبة 0,2% من الشهر (الوقت الكلي) مع عامل تيسير للانتشار يساوي 10% (انظر الفقرة 5.1.2 والفقرة 3).

الملاحظة 1 - تشير العبارة "قصيرة الأجل" إلى الفترة الزمنية التي يواجه أثناءها القسم الساتلي من التوصيل أداء شديد الانحطاط (أي أداء للأخطاء $> 1 \times 10^{-3}$). أما عبارة "طويلة الأجل"، فتشير إلى الفترة الزمنية التي لا يواجه أثناءها القسم الساتلي من التوصيل انحطاطاً في الأداء (أي أداء للأخطاء $\leq 1,0 \times 10^{-6}$).

الجدول 2

الأداء		الأهداف
(%) من الوقت المتسير	(%) من الوقت الإجمالي	
1,87	2,05	دائق منحطة
1,56	1,74	ثوان حاطنة
0,024	0,204	ثوان شديدة الأخطاء

4.1.2 اعتبارات تتعلق بالإرسال الساتلي

ينتقل أداء وصلة إرسال رقمي ساتلي بسلسلة من العوامل. ويعتبر أحد هذه العوامل، وهو تأثير اضطرابات الانتشار على الإرسال، ذات دلالة كبيرة. ويمكن من خلال استعمال الطرائق التي وضعتها لجنة الدراسات 3 (لجنة الدراسات 5، سابقاً) التنبئ بتأثيرات اضطرابات الانتشار على أداء الإرسال الرقمي.

يعرض القسم 4 نتائج الحسابات التي تقارن الأداء فيما بين ثلاث أنظمة رقمية ساتلية دولية مختلفة في احتمال الخطأ BEP على المدى القصير، بدلالة الوقت، وبالنسبة إلى الأنظمة الفعلية. وبين الشكل 4 حدود الأداء المتضمنة في مختلف النماذج.

يجب الإشارة إلى أن في المستطاع أن يصمم أداء قناة الإرسال الرقمي الساتلي تصميمًا يستجيب لجميع مواصفات الأداء تقريباً. ييد أن استعمال تصحيح الخطأ الأمامي أو التحكم في القدرة أو اختلاف الواقع قد يحسن أداء النظام تحسناً ملمساً. ولكنه يؤدي في المقابل إلى سلبيات مهمة تمثل في انخفاض السعة أو تزايد الكلفة. لذا يتوجب تقديم توسيع مناسب من أجل استعمال هذه التقنيات.

وتقدر لجنة دراسات 4 للاتصالات الراديوية أن من الضروري متابعة الدراسات المتعلقة بتأثيرات اضطرابات الانتشار على أداء القناة الرقمية الساتلية وهي ترحب بالمعلومات الإضافية التي تقدم لها حول الموضوع.

5.1.2 التيسير والأداء بالثوابي شديدة الأخطاء

كان يجب من أجل بناء نماذج للأداء قادرة على تحقيق مواصفات التوصية ITU-T G.821 والمذكورة في الفقرة 4 أن تؤخذ بعين الاعتبار النسبة المئوية من الزمن التي تعلن الوصلة أنها متيسرة حالها. أما التعريف المقبول عموماً بالنسبة إلى وقت عدم التيسير فهو التالي:

تبعد فتره عدم التيسير حين يكون المعدل BER في كل ثانية أسوأ من 1×10^{-3} وذلك في أثناء 10 ثوان متتالية. وتعتبر هذه الثوان العشر بمثابة وقت عدم تيسير. وتنتهي فتره عدم التيسير حين يصبح المعدل BER في كل ثانية أفضل من 1×10^{-3} في أثناء 10 ثوان متتالية. وتعتبر هذه الثوان العشر بمثابة وقت تيسير، كما أنها تؤخذ بعين الاعتبار عند تحديد هدف الأداء مع ثوان شديدة الأخطاء. وهذا لا يشكل المعدل BER إلا عاملاً من العوامل التي تساهم في وقت عدم التيسير الإجمالي. ولقد حددت التعريفات المتعلقة بالتيسر في التوصية ITU-T G.106.

تحب مراعاة مفهوم التيسير في تصميم وصلات لإرسال الساتلي تعرض أحياناً لفترات توهين من جراء المواتل تتجاوز هوامش النظام. وهذا هو الحال خاصة فيما يتعلق بالترددات التي تفوق 10 GHz وتمثل هذا الواقع في الدراسات حول الانتشار.

وتحتوي التوصية ITU-R S.579 تلخيصاً لقياسات الانتشار التي أظهرت توهينات للانتشار لا تؤدي إلى أوقات عدم تيسير. وتشير خلاصة هذه التوصية إلى أن 10% فقط من الوقت الإجمالي الذي قد يتسبب التوهين في أثناءه بمعدل BER أسوأ من 10^{-3} ، يشكل فترات يمكن تعريفها بأنها "أوقات تيسير" وفقاً لمقياس القطاع ITU-T. أما الباقى فيتكون من فترات عدم تيسير. ويتضمن ذلك "عامل تيسير للانتشار" بنسبة 10%. فعلى سبيل المثال، إذا كان احتمال الخطأ BER بقيمة 1×10^{-3} أو أسوأ أثناء 0,2% من الوقت الإجمالي، فإن نسبة 10% فقط من هذا الوقت أو 0,02% تعتبر وقتاً متيسراً. وهذا ما يؤدي إلى مقياس للأداء "قصير الأجل" مع احتمال خطأ BEP بقيمة 1×10^{-3} أثناء 0,2% من الوقت الإجمالي.

تصف التوصية ITU-R S.579 أهداف عدم التيسير لمدير ساتلي HRDP مع مراعاة التجهيزات والانتشار. وتحرص مؤقتاً نسبة 0,2% من سنة، لهدف عدم تيسير التجهيزات، وتقترح قيمة تساوي 0,2% من الشهر أسوأ لأداء عدم التيسير فيما يتعلق بالانتشار في HRDP.

وتحتوي التوصية ITU-R S.579 على نتائج القياسات الخاصة بأداء التيسير فيما يعود إلى الانتشار، وتبين هذه النتائج أن من الممكن لوقت التيسير بالنسبة إلى "عوامل تيسير" منخفضة ومواضع ومناخات مختلفة أن يتجاوز 0,2% من الشهر في حالة وجود سويات من التوهين ذات أهمية. وينبغي للهامش الكلي لوقت عدم التيسير فيما يعود إلى الانتشار ألا يقل، على كل حال، عن هدف النموذج قصير الأجل الضروري لتحقيق مواصفات التوصية ITU-T G.821 أي 0,2% من الشهر. لذا نُصح في التوصية ITU-R S.579 أن تتبين هذه القيمة عند الترددات التي تقل عن 15 GHz.

ييد أن من الضروري متابعة دراسة الانتشار من أجل التثبت من نسبة مئوية مماثلة لنطاقات مختلفة من الترددات ولعدة قيم من زاوية الارتفاع ولعدة مناطق مناخية.

وأخيراً يلاحظ فيما يتعلق بتيسير نظام لإرسال (يستعمل تقنيات مثل التقنية TDMA) أنه قد يختلف عن التيسير المتعلق بالانتشار، وذلك بسبب إمكان خسارة التزامن عندما تقع الموجة الحاملة تحت عتبة من التزامن (10^{-2} ، عادة) في خلال ثوانٍ. ويجب التحسب، عموماً، لعدة مسارات ذهاباً وإياباً قبل أن تتم الحيازة في نظام TDMA. ولهذا لا يمكن للتزامن أن يتبع دائماً الاسترجاع المؤقت لسوية الموجة الحاملة. ومن ثم، قد تجدر فترات تصل الموجة الحاملة في أثنائها إلى سوية مقابلة لمعدل BER أفضل من 10^{-3} ، ولكن الدارة قد تقدم في الوقت نفسه، ونتيجة لتأخر المزامنة، معدل BER مقابلاً أسوأ 10^{-3} . وقد تساهمن هذه الفترات في زيادة وقت عدم التيسير مقابل وقت التيسير.

تقوم المطارات في بعض الأنظمة التشغيلية TDMA بقياسات للمعدل BER على أساس الكلمة الواحدة لكل رشقة من الحركة المستقبلة وعلى فترات متتالية تقل عن 10 ثوان. وتذوم هذه الفترة 4 ثوان (128 متعدد الأرتال) في حالة النظام EUTELSAT TDMA. وعندما يتم تجاوز عتبة من معدل الأخطاء BER بقيمة 10^{-3} أثناء فترة قياس واحدة، يجري تبادل سلسلة من إنذارات الصيانة لمعدل BER عال بين مطراقي الإرسال والاستقبال TDMA. وهذا ما يسبب إرسال تتابعات خاصة من التشوير (البيان "a" و "b" عند 1 في كل الدارات المعنية بإشاره دلالة الإنذار (AIS)) نحو مركز التبديل الدولي (ISC) وانطلاقاً من المطارات ويمكن تفسير هذه التتابعات باعتبارها رسائل تحرير النداء وقد تتسبب في انقطاع النداءات المعنية. وثمة حاجة لإجراء دراسات لاحقة من أجل تحديد تأثير الإنذارات بمعدل عال BER على تيسير الشبكة.

2.2 آليات أخرى تشكل أسباباً للخطأ

بالرغم من أن المساهمات الرئيسية في الأخطاء تعود في الأنظمة الرقمية الساتلية، إلى الانتشار وإلى تأثيرات التداخل، فإن آليات أخرى قد تشكل أسباباً للخطأ. وتجد في هذه الفقرة بعض المعلومات حول تكرار حدوث هذه الأخطاء ومدتها، وتتيح هذه المعلومات لمصمم النظام الساتلي أن يتعرف إلى هذه الآليات. ويمكن في الواقع، أن توزع، عند تصميم وصلة رقمية، نسبة مئوية مأخوذة من أهداف الأداء الإجمالية لهذه الآليات. على أنه يفترض أن هذه الأخطاء التي تساوي أو تقل مدةً عن 10 ثوان لا تؤدي إلى اعتبار الوصلة الساتلية غير متيسرة. وقد أُعطيت في التوصية ITU-R S.579 معلومات أخرى حول الآليات التي تسبب عدم التيسير.

لقد اكتشف أن آليات الأخطاء التالية تنتج رزاً من الأخطاء:

- تبديل مسیر الإشارة في تجهیزات المحطة الأرضية IF وRF،

- تبديل مسیر الإشارة في تجهیزات النطاق الأساسي للمحطة الأرضية،

- مسیرات التغذیة بالطاقة في المحطات الأرضية،

- تبديل مسیر الإشارة في الساتل.

وتحتها تقديرات مبنية أدناه حول توادر ظهور رزم الأخطاء العائدة إلى هذه الآليات ومدتها. وقد لخصت في الجدول 3.

الجدول 3

أمثلة موجدة لآليات إنتاج رزمة أخطاء

المدة	التردد	التأثير
ms 150	1,0 في الشهر	تبديل IF/RF
ms 150	2,0 في الشهر	تبديل هامشي
bits 128-2	1,2 في الشهر	تبديل في النطاق الأساسي

يمكن أن نستنتج من خلال الجدول 3 ما يلي:

- يمكن الاستنتاج فيما يتعلق بتوصيل معدل kbit/s 64 في فترة تكامل مدتها دقيقة واحدة (min 1)، أن جميع التأثيرات المذكورة في الجدول 3 تتعارض مع هدف 1×10^{-6} في الدقيقة. وهذا يعني أن من الضروري أن نعتبر أن جزءاً من الوقت الذي يمكن خلاله تجاوز الهدف 1×10^{-6} ، يعود إلى هذه التأثيرات فعلاً.
- تصل كمية الأحداث الإجمالية إلى 4,2 في الشهر وفقاً للجدول 3، أي أنه سيحدث من ثم انقطاع خلال 0,0097% من فترات الدقيقة الواحدة، وذلك كقيمة متوسطة.
- يدور الحادث الواحد أقل من ثانية واحدة، مما سيؤدي إلى أن تحتوي قيمة متوسطة تساوي 4,2 من الثانية فقط في الشهر (أي 0,0002%)، على أخطاء بسبب التأثيرات المعينة.

تمثل نسبة الأحداث 4,2 في الشهر 0,01% فقط من الدقائق المنحطة و 0,00016% من الثانية شديدة الأخطاء بينما تحدد التوصية ITU-R S.614 هامش سلامة من 0,13% و 0,006%， على التوالي. لذا لا يحتاج قناع عدد التوصية إلى التعديل نظراً إلى احتمال وجود رزم من الأخطاء في نظام ساتلي معين، أما إذا كشفت دراسات لاحقة عن وجود آليات أخرى تتيح رزم الأخطاء، فسوف تتطلب الشروط الخاصة بمعدل الأخطاء BER إجراء تعديلات عليها.

1.2.2 التبديل IF و RF

تعود بعض الأخطاء إلى التبديل IF و RF الحقق من أجل تشغيل تجهيز النجدة عند حدوث عطل ما أو بسبب أعمال الصيانة الموسمية.

ويجب من أجل تحديد تردد الانقطاعات العائدة إلى التبديلات أن نعتمد متوسطاً مناسباً للأزمنة الفاصلة بين الأعطال (MTBF) بالنسبة إلى مكونات مختلفة، مما يسمح حينئذ، باستخلاص عدد التبديلات الشهرية. ويعطي الجدول 4 مثلاً لقيم MTBF، ويبين متوسط تردد التبديل الناتج عنها.

الجدول 4

المعدلات الممثلة لأعطال تجهيز المطارات الأرضية

متوسط تردد التبديل (لكل شهر)	MTBF (h)	الجهاز
0,36	2 000	مضخم عالي القدرة (HPA)
0,18	4 000	محوال رافع للتردد
0,18>	4 000<	مودم (مشكّل-مزيل التشكيّل)
0,09	8 000	مضخم منخفض الضوضاء (LNA)
0,01	50 000	تجهيز لاحق للمضخم LNA
0,18	4 000	محوال خافض للتردد
1,0		المجموع

تعود الأرقام "الكلية" الواردة في الجدول 4 إلى وصلة في اتجاه واحد تتضمن محطة أرضية لإرسال ومحطة أرضية للاستقبال. ولم نأخذ طبعاً في الاعتبار أن بعض الأشهر سوف تكونأسوء من المتوسط إحصائياً. أما مسألة معرفة ما إذا كان من الضروريأخذ هذا الواقع في الاعتبار، فتحتاج إلى مزيد من الدراسة.

يعتبر أن المدة النموذجية لكل تبديل تساوي 150 ms، بما في ذلك وقت رد فعل دارة التحكم.

2.2.2 التبديل عند النطاق الأساسي

لا تعتبر التجربة المكتسبة كافية للسماح بتحديد معدلات الأعطال، ذلك أن استعمال التجهيز الرقمي في النطاق الأساسي لا يزال محدوداً. وتعمل المعلومة الوحيدة المتوفرة بتجهيز TDMA الذي يتوقع أن يقابل المعدل MTBF الإجمالي فيه 3 000 ساعة بالنسبة إلى التجهيز المركزي TDMA و 2 000 ساعتين بالنسبة إلى وحدات السطح البيني. وتعطي هذه الأوقات، إذا ما أخذت في الاعتبار عدداً من 0,6 من الأعطال لكل شهر أو 1,2 عطلاً في الشهر للوصلة الكاملة. وهذه قيمة يمكن أن تُراقب عن قرب إذا ما استخدمت تطبيقات مرضية في التصميم.

عندما يحدث العطل يكون وقت التبديل قصيراً جداً ولكن تأثيره في الحركة قد يستمر وقتاً طويلاً. وقد تتراوح النتيجة بين 2 و 3 من الأخطاء في البتات، مما يؤدي إلى خسارة رتل متعدد، أي 128 بنة على قناة ما بمعدل 64 kbit/s.

3.2.2 تراوحت عابرة لمصدر الطاقة

يبدو تقدير هذا التأثير من الناحية الكمية صعباً جداً. ومن ثم يتمثل عنصر التقدير الوحيد المتيسر في أن هذه التأثيرات الخامشية تسبب في التجهيز RF/IF ضعف عدد التبديلات التي تسببها الأعطال الفعلية في التجهيز. ومن هنا يمكن تخصيص تبدلين في الشهر لهذا التأثير بالاستناد إلى المعلومات المذكورة أعلاه.

4.2.2 تبديل مسار الإشارة في السائل

بالرغم من عدم توفر أية معطيات في الوقت الحاضر، حول هذا التأثير، إلا أن احتمال حدوثه بالوتيرة نفسها التي يظهر فيها تبديل المسير في المحطات الأرضية سيكون، كما يقدر، احتمالاً ضعيفاً. ييد أن هذا الوضع قد يتغير كلما وضعت في الخدمة سواتل أكثر تعقيداً ولا سيما في حالة استعمال التبديل أو المعالجة على متن السائل. ومن هنا تتطلب هذه النقطة، إذاً، مزيداً من الدراسة.

5.2.2 تأثيرات تبديلات التجهيزات على معلمات التوصية ITU-T G.821

لوحظ أثناء الاختبارات على TELECOM-1 بين Trou-Biran و Bercenay-en-Othe أن التبديلات في تجهيزات المحطات الأرضية تؤدي إلى التأثيرات التالية في معلمات التوصية ITU-T G.821.

دقائق منحطة	ثوان خاطئة	ثوان شديدة الأخطاء	
0	2	2	مضخم معلمى
0	2	2	مودم

إن معلومات إضافية ضرورية حول هذا الموضوع لا سيما فيما يتعلق بالتأثيرات التي تسببها تجهيزات أخرى RF/IF.

3. حسابات أداء الأخطاء ونماذجها

1.3 مقدمة

تصف هذه الفقرة الطريقة التي يمكن من خلالها تقدير أداء وصلة ما معبراً عنها بالاحتمالات BEP وفقاً لتوزيع نسب الوقت المئوية، وذلك بواسطة المعلمات المذكورة في الجدول 1. وتفسر الفقرة 2.3 أدناه الإجراء المستعمل في تحديد الأداء بينما تتضمن الفقرة 3.3 نماذج من الاحتمالات BEP وفقاً لنسب مئوية من الوقت مطابقة للتوصية ITU-T G.821 وترتکز هذه النماذج على الخصائص العامة لأنظمة "حقيقة".

طريقة الحساب 2.3

الفرضية الأولى والمهمة هي أن أداء وصلة النظام الساتلي محدود بآليات ذوات طبيعة عشوائية أساساً. وهذا يسمح باستعمال مقاربة بواسون (Poisson) أو مقاربة ثنائية، من أجل حساب احتمال حدوث عدد معين من الأخطاء أو نمط معين من الأحداث المحتوية على أخطاء خلال فترة زمنية محددة إلى جانب احتمال خطأ معين في البتات أو احتمال حدث يحتوي على أخطاء. ويتقارب هنا توزيع بواسون والتوزيع الثنائي داخل المدى الرقمي للمعلمات المعنية هنا.

وقد أظهرت المعطيات أن فرضية الحدوث العشوائي للأخطاء تحتوي على أخطاء فرضية صالحة. وتعرض الفقرة 5 مثلاً عنها بينما قدمت في اجتماعات للقطاع ITU-R أمثلة أخرى تؤكد هذه الفرضية. وتعرض أيضاً الفقرة 5 معلومات حول الفارق في توزيع حدوث الأخطاء بالنسبة إلى توزيع عشوائي ناتج عن استعمال التصحيف الأمامي للأخطاء.

ويجب، من أجل تقدير أداء الوصلة بالنسبة إلى استجابتها للشروط المحددة في التوصية ITU-T G.821، أن يضم نظام لأداء الوصلة يعبر عنه بالاحتمال BEP وفقاً للنسب المئوية من الوقت. وعندما يوضع نموذج الوصلة، يمكن إجراء الحسابات من أجل تحديد ما إذا كان نموذج معين من الوصلة مطابقاً لمقياس الفاصل المحتوي على الأخطاء الذي تحدده التوصية ITU-T G.821. ويتم ذلك من خلال تقسيم محور النسب المئوية من الوقت إلى فواصل صغيرة. مما يعني تحديد قيمة مقابلة ثابتة للاحتمالات BEP في هذه الفواصل الصغيرة، ثم حساب احتمالات حدوث مختلف الفواصل الخاطئة عند الاحتمال BEP، وضرها بقيمة الفاصل الزمني وجمع الاحتمالات لكل فاصل خاطئ ومقارنته الاحتمالات الناتجة مع المقياس المذكور سابقاً.

ومن أجل تفسير طريقة الحساب، تحدد نسبة مئوية من الثواني الخاطئة (ES)، ونسبة مئوية من الثواني شديدة الأخطاء (SES) ونسبة مئوية من الدقائق المنقطة (DM) ويتم الحساب كما يلي:

- (أ) تقسيم محور نسب الوقت المئوية الخاصة بالنموذج المعتر إلى عدد الأجزاء الضروري لكي يصبح تمثيل المنحنى من خلال تقرير على سلم ممكناً، بينما يكون الاحتمال BEP ثابتاً على كل فاصل من السلم.
 - (ب) تحديد احتمال ES أو SES أو DM وفقاً للحالة، بالنسبة إلى قيمة BEP في كل جزء متدرج انطلاقاً من الشكلين 1 و 2.
 - (ج) يعطي هذا الاحتمال، إذا ضرب بنسبة الزمن المئوية الابتدائية في الفاصل، مساهمة ES أو SES أو DM التي يقدمها هذا الفاصل؛
 - (د) يعطي مجموع هذه الإسهامات النسب المئوية الكلية ES أو SES أو DM.
- ويمكن تلخيص العمليات (أ) إلى (د) رياضياً على الشكل التالي:

$$\text{مجموع جميع الإسهامات} = \sum [(1 - P(E, N, BEP)) \cdot \Delta T]$$

حيث:

- هو الفاصل الزمني للدرجة: ΔT
- الاحتمال المتعلق بالهدف المعتر: $P(E, N, BEP)$
- عتبة الخطأ: E
- عدد البتات في الفاصل الزمني لمعلمة الأداء المعنية: N
- احتمال الخطأ في البتات: BEP
- يجب زيادة عبارة إضافية إلى المجموع الخاص بالثواني شديدة الأخطاء، وذلك من أجل إدخال الثواني الصادرة عن فترات يفوق فيها الاحتمال BEP قيمة 10^{-3} وهي أيضاً متيسرة (انظر الفقرة 5.1.2)؛
- يمكن أخيراً التعبير عن النتائج بنسبة الوقت "المتيسر" المئوية. وهذا تعطى النتائج وفقاً لشكل أهداف الأداء المحددة في التوصية ITU-T G.821. ويمكن مقارنتها بهذه الأخيرة.

لقد رسمت منحنيات الشكلين 1 و 2 بواسطة المعادلة التالية (توزيع Poisson):

$$P = \sum_{k=0}^E \frac{(N \cdot BEP)^k \cdot (e^{-N \cdot BEP})}{K!}$$

حيث:

N : هو عدد البتات في الفترة الزمنية من التكامل المرغوب فيه، أي $64\,000 \times 60$ ، على سبيل المثال، بالنسبة إلى فترة من دقيقة واحدة.

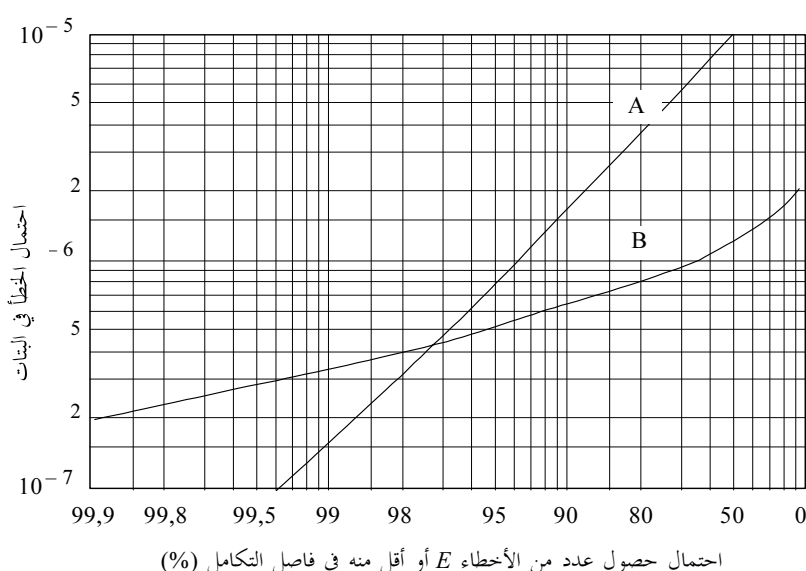
E : عتبة الخطأ

BEP : احتمال الخطأ في البتات.

3.3 أداء النماذج

يمكن تحديد عدد من نماذج أداء الأنظمة الساتلية التي ستطابق أهداف التوصية ITU-T G.821 أو ستتجاوزها وذلك بتطبيق عملية التحويل المذكورة أعلاه. ويمثل الشكل 3 أربعة من هذه النماذج.

الشكل 1



احتمال حصول عدد من الأخطاء E أو أقل منه في فاصل التكامل (%)

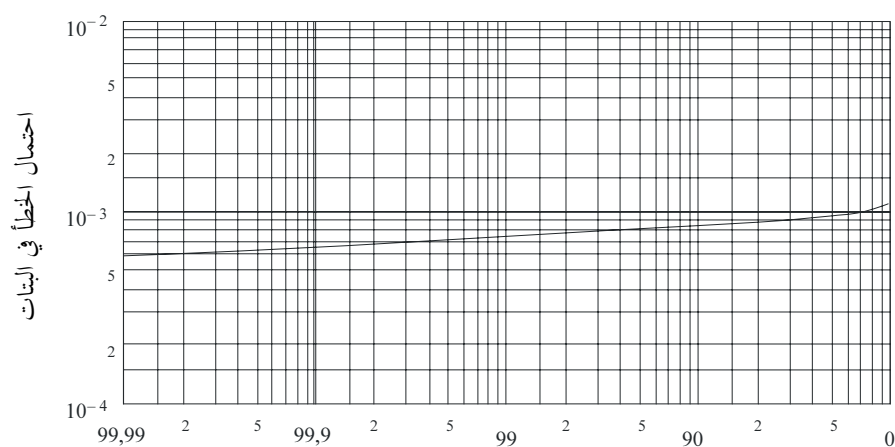
المنحنى A : احتمال ثوانٍ مخالية من الأخطاء، أي
(1 - احتمال ثوانٍ مخاطفة)

المنحنى B : احتمال 4 أخطاء أو أقل في الدقيقة الواحدة أي
(1 - احتمال دقائق من الخطاقة)

D01

الشكل 2

احتمال أن يساوي عدد الأخطاء 64 أو أقل خلال ثانية واحدة



احتمال 64 خطأً أو أقل في ثانية واحدة (%)

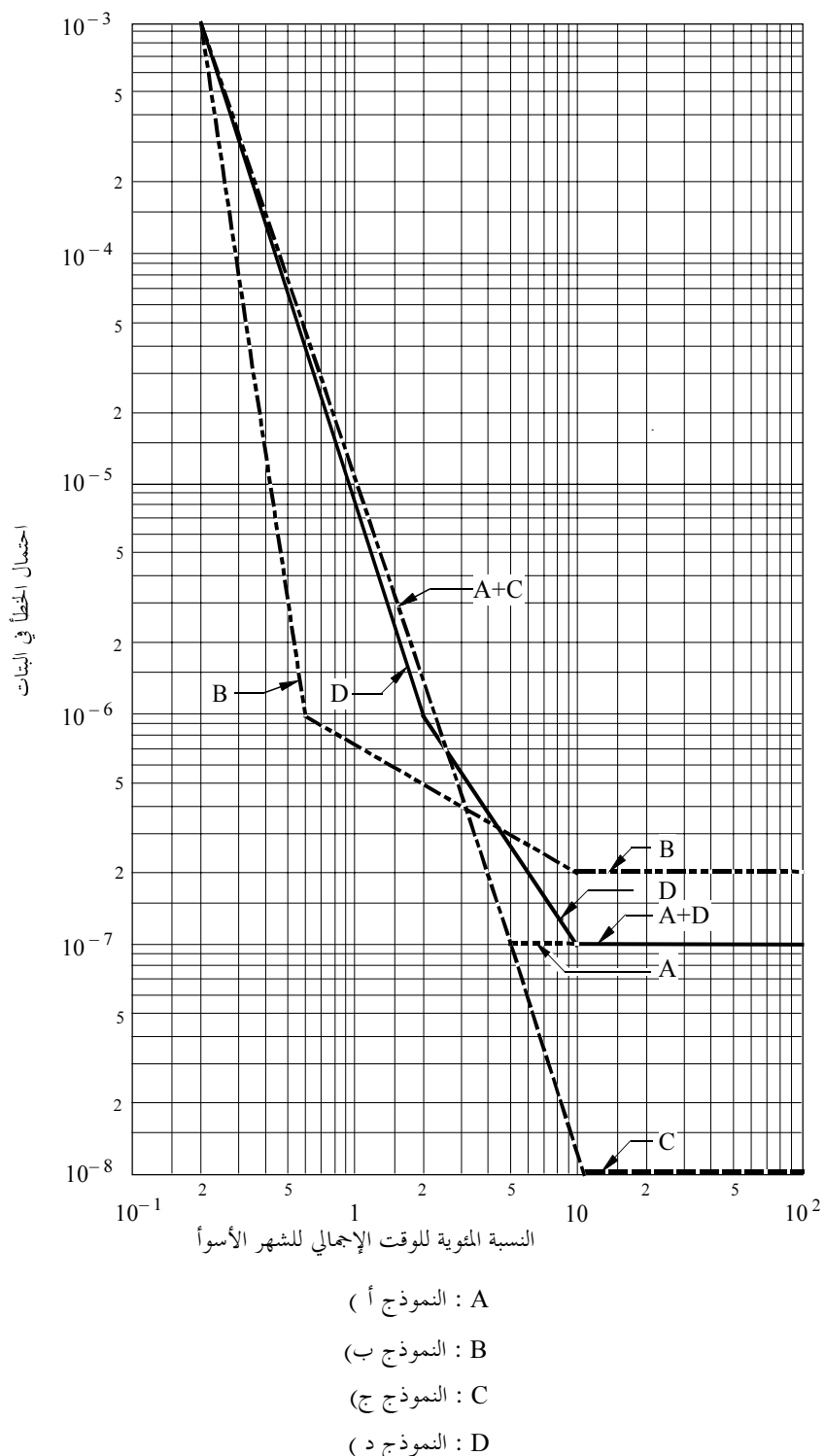
الملاحظة 1 - يقابل احتمال 64 خطأً أو أقل في الثانية الواحدة

(1) - احتمال ثوان شديدة الأخطاء

0614-02

الشكل 3

نماذج أداء BEP تطابق شروط التوصية ITU-T G.821



تُقدم نقاط القطع طويلة المدى في هذه النماذج (معبراً عنها من خلال الوقت الإجمالي من الشهر الأسوأ) على النحو التالي:

- النموذج أ) : بالنسبة إلى 95% من الشهر الأسوأ، $BEP = 10 \times 1^{-7}$
- النموذج ب) : بالنسبة إلى 90% من الشهر الأسوأ، $BEP = 10 \times 2^{-7}$
- بالنسبة إلى 99,4% من الشهر الأسوأ، $BEP = 10 \times 1^{-6}$
- النموذج ج) : بالنسبة إلى 89% من الشهر الأسوأ، $BEP = 10 \times 1^{-8}$
- النموذج د) : بالنسبة إلى 90% من الشهر الأسوأ، $BEP = 10 \times 1^{-7}$
- بالنسبة إلى 98% من الشهر الأسوأ، $BEP = 10 \times 1^{-6}$

كان المدف من إنشاء النموذج ج) في الشكل 3 إنتاج نموذج يحافظ فيه على الأداءات عند قيم BEP ضعيفة (10×1^{-8}) وخلال أقصر وقت ممكن (9% من الشهر الأسوأ). وقد يكون هذا النموذج مناسباً حين تصبح الأداءات محددة على نحو شبه كامل من جراء التوهين بسبب المطر (أي فوق 10 GHz). ويؤمن المامش الكبير ضد الخبو المطلوب في هذه الحالة، حصولاً على BEP جيد خلال قسم كبير من الوقت. أما بالنسبة إلى المنهج A (النموذج أ)), فيهدف إلى تقدير تأثير نقطة القطع على المدى الطويل في حالة تبني قيمة BEP قدرها 10×1^{-7} واستعمل في هذه الحالة، قناع ذو نقطتي قطع.

خصوص النموذج ب) للسماح بأعلى قيمة BEP ممكنة على المدى الطويل. وقد أدرجت نقطة قطع إضافية في هذه الحالة إلى قدرة 10×1^{-6} بالنسبة إلى 99,5% من الشهر، وذلك من أجل ضبط أداءات النظام على نحو يجعلها أقرب من هذه النسب المئوية. ومن المحتمل أن يتاسب هذا النموذج والحالات التي يكون فيها التوهين العائد إلى المطر ضعيفاً أو حالات التداخلات المحدودة فيما بين الأنظمة وفي داخل الأنظمة.

أما النموذج د) فيتحقق تسوية بين متطلبات الأنظمة المحدودة بالانتشار ومتطلبات الأنظمة المحدودة بالتداخل. ويعتبر أن من الممكن تحقيق مواصفات هذا النموذج في الأنظمة الساتلية كبيرة القدرة، والتي تطبق التقنيات الحالية من غير أن تحدث أية زيادة في الكلفة أو في القدرة.

وتشكل النقطة (10×1^{-3} , 0,2%) عنصراً مشتركاً للنماذج الأربع و يجب التعرف إلى كيفية مطابقة تلك النماذج مع المدف ب) الخاص بالثوابي شديدة الأخطاء المحدد في التوصية ITU-T G.821. وهذا المدف هو 10×3^{-3} بالنسبة إلى 99,9% من الوقت المتيسر خلال الشهر الأسوأ. ويعتبر، بناء على تعريف التوصية ITU-T G.821، بأن فترة من 10 ثوان متتالية أو أكثر شديدة الأخطاء (أي ذات معدل BER أسوأ من 10×1^{-3}) بمثابة وقت غير متيسر. وتدخل الفترات ذات التسع ثوان متتالية أو أقل ضمن الوقت المتيسر. ويمكن استخلاص دلالة عن النسبة المئوية من الوقت "غير المتيسر" من خلال التوصية ITU-R S.579.

يعطي الجدول 5 أداءات هذه النماذج الأربع معبراً عنها وفقاً لمعايير التوصية ITU-T G.821. ويشير الجدول إلى نسب الفاصل الزمني في الوقت المتيسر خلال شهر واحد وبالنسبة إلى كل من المعلمات. وقد طرح الوقت غير المتيسر من الوقت الإجمالي من أجل الوصول إلى النتائج الواردة في هذا الجدول. ولما كانت التوصية ITU-T G.821 تتناول النسب المئوية من الوقت المتيسر، فإن الجدول 5 يسمح بمقارنة الأداءات وشروط هذه التوصية.

وقد حسبت قيم الجدول 5 بالنسبة إلى نقطة قطع قصيرة المدى ($BER = 10 \times 1^{-3}$) تساوي 0,2% من الوقت الإجمالي وبالنسبة إلى عامل لتيسير الانتشار يساوي 10%.

ومن الممكن ملاحظة فارق دلالي في الجدول 5 ما بين النموذج ب) والنماذج الأخرى، ذلك أن النماذج أ) وج) ود) تؤدي إلى استجابة جميع المعلمات لأهداف التوصية ITU-T G.821 استجابة مماثلة تقريرياً، بينما يستجيب الأداء في النموذج ب) لشروط الثوابي الخطأة استجابة واضحة.

يبدو من الواضح أن في الإمكان التعبير عن أهداف التصميم الخاصة بأي نظام ساتلي بالوقت الإجمالي (كما كان الحال في الماضي) أو بالوقت المتيسر ويقدم تبني الوقت المتيسر ميزة أساسية إذ أنه يظهر فوراً أن الأهداف متوافقة والتوصية

ITU-T G.821، ذلك أن من غير الضروري طرح أية فرضية تتعلق بالنسبة المئوية من الوقت غير المتيسر. أما في حالة احتياج المصمم إلى استعمال النسب المئوية من الوقت الإجمالي، فباستطاعته أن يستخدم عاملًا للتحويل مناسبًا لنطاق الترددات المعنى وللمنطقة المناخية المعتبرة. وقد يقود ذلك في الغالب إلى أهداف أقل صرامة مما هي عليه بالنسبة إلى "الوقت الإجمالي" لأنها تشتمل بهذا على فرضية النسبة المئوية من الوقت "غير المتيسر".

الجدول 5

الأداء (%) من الوقت المتيسر)					الهدف
النموذج د)	النموذج ج)	النموذج ب)	النموذج أ)	التوصية ITU-T G.821	
1,87	1,97	0,75	1,97	2,0	دفائق منحطة
1,56	1,06	1,60	1,59	1,6	ثوان خاطئة
⁽¹⁾ 0,024	⁽¹⁾ 0,024	⁽¹⁾ 0,022	⁽¹⁾ 0,024	0,03	ثوان شديدة الأخطاء

⁽¹⁾ لقد استعملت ثلاثة أعداد عشرية في هذه القيم للإشارة إلى مساهمة تكاملية الوقت مع $BER \geq 1 \times 10^{-3}$ في الثاني شديدة الأخطاء.

الملاحظة 1 - أعطيت القيم الواردة في الجدول من أجل إثبات الملاءمة مع التوصية ITU-T G.821 في حالات النماذج المختلفة المدرosaة. وسوف يقود استعمال نماذج مختلفة إلى قيم مختلفة.

الملاحظة 2 - يجب الإشارة إلى أن أداء النظام قد يتجاوز الأداء المحدد في الحسابات أعلاه إذا ما ارتكز مصمم النظام الساتلي، في حساب النظام، على أحد النماذج من الأنماط المبينة في الجدول ارتكازاً مباشراً لأن نسبة الاحتمال BEP % إلى نسبة الوقت المئوية الخاصة بالنظام ستتجاوز حتماً في الواقع، وفي أكثر الحالات، تلك القيم المحددة في النموذج.

4.3 إجراءات القياس العملية

1.4.3 مقدمة

يتجه عادة اختبار الشبكة إلى التتحقق من أن الشبكة تستجيب لأهداف الأداء المعبر عنها بالنسبة إلى معلمات التوصية ITU-T G.821 (SES و DM و ES). ومن ثم يوصى أن تقيس هذه المعلمات قياساً مباشراً كلما أمكن ذلك، وفقاً للتوصية ITU-T G.821 بدلاً من قياس قيم المعدل BER في هذه التوصية.

إلا أنه قد يتوجب أيضاً أن تقيس قيم المعدل BER للنظام الساتلي من أجل مقارنتها مع قيم المعدل المحدد في الفقرة 1 من "توصي".

ويسمح ذلك أيضاً بأن تدرس العلاقة بين قياسات المعدل BER وقياسات المعلمات المحددة في التوصية ITU-T G.821 ويستحسن، في هذه الحالة، أن يتبع إجراء مناسب من أجل قياس المعدلات BER وفقاً للنسب المئوية من الوقت لأن فترة التكامل لها تأثير على النتائج المحققة. وبين الشكل 4 هذا المبدأ عندما تطبق فترات تكامل من ساعتين وساعة واحدة و 15 دقيقة واحدة و 10 ثوان وثانية واحدة على المجموعة نفسها من المعطيات المقيسة.

ويقترح، من ثم، تبني الخوارزميات التالية من أجل تأمين مقارنة النتائج المحققة في الاختبارات المختلفة.

2.4.3 خوارزميات القياس

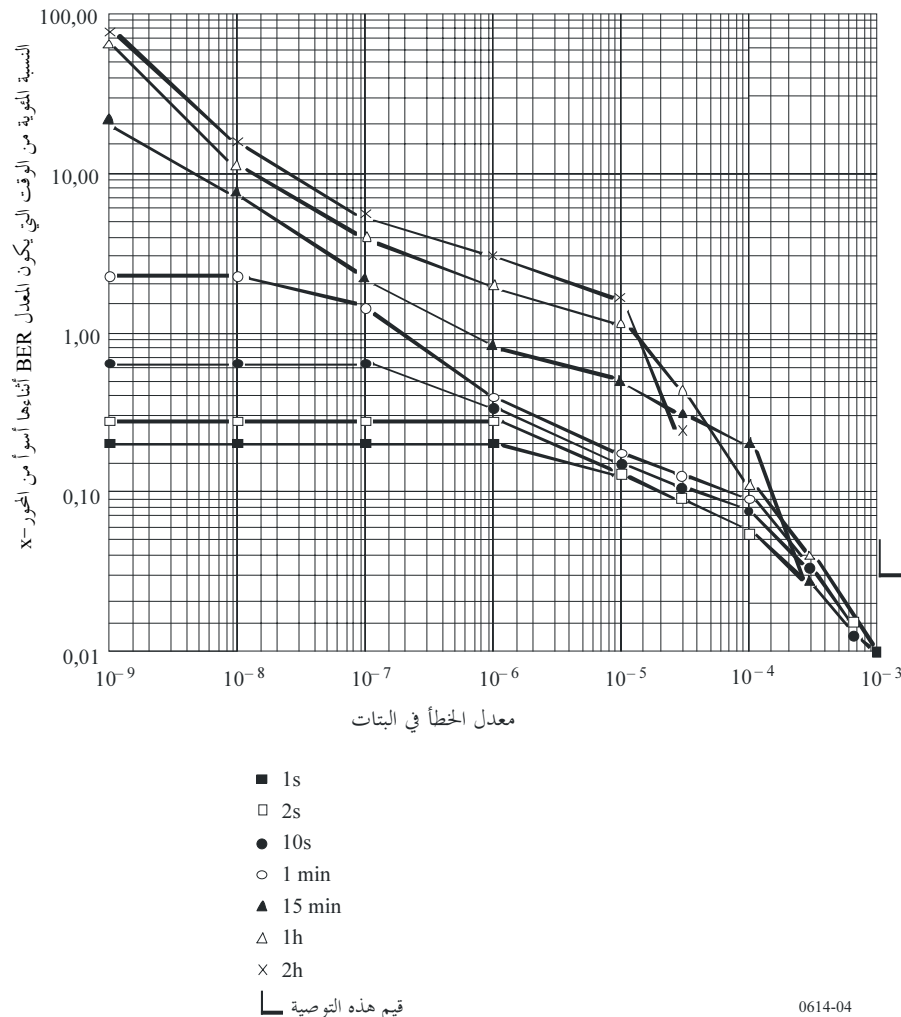
ووضع لهذا الغرض خوارزميتان هما:

أ) خوارزمية تجميع المعطيات التي تعتبر خوارزمية تنوعية نظرية لتجهيزات اختبار خاصة. وبهذا تكون هذه الخوارزمية مشابهة للخوارزميات المستخدمة في أكثرية تجهيزات الاختبار الحالية.

ب) خوارزمية تحليل المعطيات.

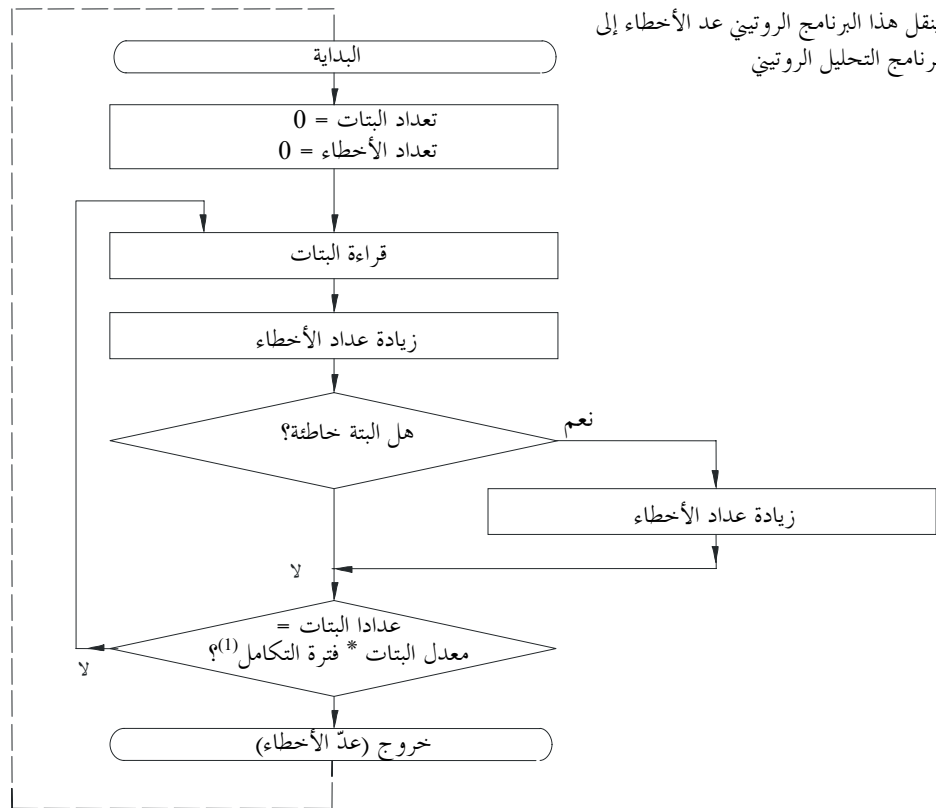
الشكل 4

تفحص العلاقة فيما بين قياسات المعدلات BER وقياسات المعلمات المحددة في التوصية ITU-T G.821



يعتبر من الأساسي أن تستخدم فترة التكامل نفسها (ومعدل البتات) لكل خوارزمية. وفيما يلي وصف مخطط الانسياب لـ كل خوارزمية:

خوارزمية تجميع المعطيات (أ)

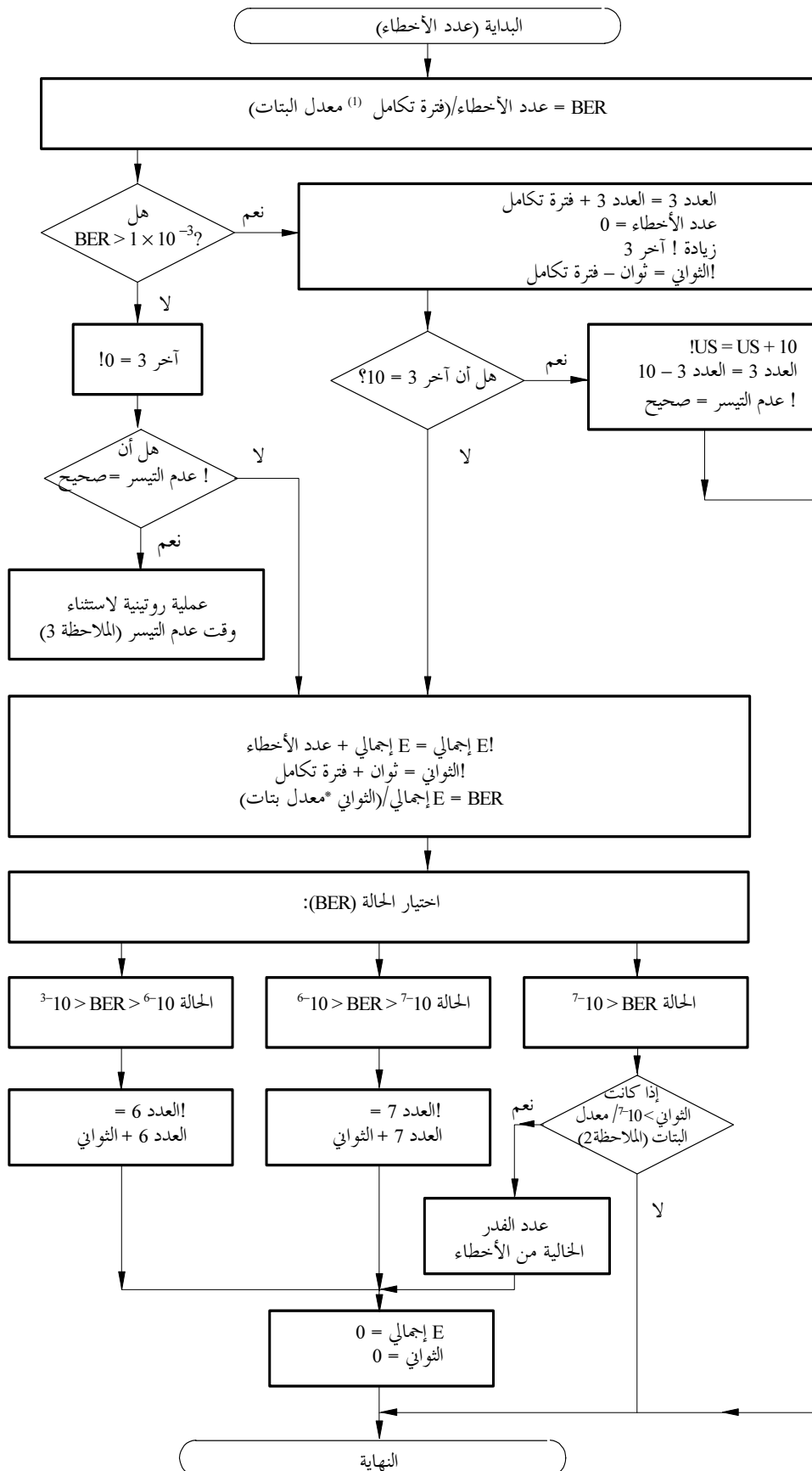


⁽¹⁾ افترضت هذه الخوارزمية أن فتره تكامل من ثانية واحدة قد تستعمل من أجل ضبط هذه التوصية وفقاً لمبادئ

.ITU-T G.821 التوصية 0614-04a

خوارزمية تحليل المعطيات

(٤)



(١) افترضت هذه الخوارزمية أن فتره تكميل من ثانية واحدة قد تستعمل من أجل ضبط هذه التوصيه وفقاً لمبادئ التوصيه .ITU-T G.821

الملاحظة 1 - إن استعمال الرمز “!” قبل اسم المتغير في الخوارزمية أعلاه يدل على ضرورة معالجة المتغير باعتباره ساكناً أي أنه ينبغي المحافظة على القيمة بعد كل نداء من هذا البرنامج الروتيني أثناء أي اختبار. ويظهر عادة الرمز “!” مرة فقط لكل متغير وينبغي أن تعالج كل احتمالات حدوث هذا الاسم للمتغير بالطريقة نفسها.

الملاحظة 2 - تعتبر قيمة 10^{10} معدل البتات ضرورية لاستثناء الفترات الحالية من الأخطاء.

الملاحظة 3 - يعتبر هذا البرنامج الروتيني ضرورياً من أجل استثناء فترات عدم التيسير من التحليل BER إلى حين استعادة وقت عدم التيسير. راجع التوصية ITU-T G.821 من أجل معلومات أوفر. وحينما يعاد إدخال وقت التيسير كما هو معرف في التوصية ITU-T G.821، ينبغي للمتغير ! عدم التيسير أن يعاد تثبيته عند القيمة “خطأ”.

الملاحظة 4 - يمكن استخدام هذا البرنامج الروتيني لأي معدل من البتات. وتحقق أفضل مقارنة بين التوصية ITU-T G.821 والتوصية ITU-R S.614 عندما تفاصس دارة بمعدل 64 kbit/s.

الملاحظة 5 - تقسم الأعداد الثلاثة (!العدد 3 و!العدد 6 و!العدد 7) على مدة القياس الكلية ثم تضرب بـ 100 من أجل إعطاء النسب المئوية من الوقت لكل معدل BER (10^{-3} و 10^{-6} و 10^{-7}) وتقارن مع الأهداف المشار إليها في التوصية ITU-R S.614، أي،

$$\% \text{ من الوقت التي يكون المعدل BER أثناءها } < 10^{-3} = \frac{\text{العدد } 3}{\text{مدة القياس}} \times 100$$

4 أمثلة لأداء وصلات ساتلية نموذجية

تحتوي هذه الفترة على نتائج حساب الأداء الرقمي المتوقع بالنسبة إلى ثلاثة أنظمة من الإرسال الرقمي الساتلي ذات خصائص مختلفة:

- 6/4 GHz INTELSAT-V 120 Mbit/s TDMA

- 14/11 GHz EUTELSAT 120 Mbit/s TDMA

- 14/11 GHz INTELSAT-V 120 Mbit/s TDMA (مع التحكم في القدرة على الوصلة الصاعدة واختلاف المواقع).

يستند اختيار هذه الأنظمة إلى كونها تشغّل حالياً وصلات ساتلية نموذجية في النطاقين 6/4 GHz و14/11 GHz، ومن ثم تستطيع أن تزودنا بالتجيئات عند تصميم أجزاء التوصيات المستقبلية الساتلية الخاصة بشبكة ISDN. هذا ويمكن أن تختلف خصائص الأداء وفقاً لبعض العوامل مثل زاوية الارتفاع، ومعدل الأمطار وأوضاع التداخل. وينبغي لمصمم النظام أن يأخذ بعين الاعتبار جميع هذه العوامل عند تصميمه لسير HRDP في شبكة ISDN.

أما نتائج حسابات موازنة الوصلة فهي من حيثيات خاصة باحتمالات الخطأ في البتات بدلاًلة نسبة الوقت الكلي المئوية خلال الشهر الأسوأ. وتزودنا هذه المن حيثيات بفكرة حول انعكاسات أهداف الشبكة ISDN على تصميم الأنظمة الساتلية.

وتتضمن أيضاً الفقرة 3.4 نتائج الحسابات التي أجريت وبين Trou Biran (فرنسا) و Bercenay-en-Othe (غويان الفرنسية) على وصلة لقناة خدمة بمعدل 64 kbit/s. وقد أجريت هذه القياسات في خلال أكثر من سنة مع تسجيل متوسط شهري من 445 ساعة.

1.4 نموذج التوهين

يشكل نموذج التوهين المستعمل في الحسابات المتعلقة بنظام V-INTELSAT، تطبيقاً للطريقة الموضحة في التوصيات ITU-R PN. ويمكن، من خلال اتباع هذه الطريقة حساب النسبة المئوية السنوية للتوهين العائد إلى المطر على مسیر مائل وعند موقع المحطات الأرضية. وتحدد الإحصائيات من خلال استخدام عدة معلمات هي التالية:

- المناخ المطري ولا سيما معدل المطر مقىساً عند نقطة معينة - أثناء 0,01% من سنة متوسطة،

- ارتفاع المقطة الأرضية فوق سطح البحر،

- زاوية ارتفاع المقطة الأرضية في اتجاه الساتل،

- خط عرض المقطة الأرضية.

ويحسب من خلال هذه المعلمات التوهين العائد إلى المطر، والذي يتم تجاوزه خلال 0,01% من السنة. أما فيما يتعلق بالنسبة المئوية السنوية الأخرى، فتحسب قيم التوهين بواسطة العلاقة التالية:

$$A_P = b A_{0,01} P^a$$

حيث:

A_P : هي التوهين الخاص بالنسبة المئوية السنوية المرغوب فيها

$A_{0,01}$: التوهين أثناء 0,01% من السنة

P : النسبة المئوية السنوية المرغوب فيها

a and b : ثابتان.

يمكن حساب القيم السنوية للتهين بالنسبة إلى التوهين خلال "الشهر الأسوأ" بواسطة العلاقة التالية:

$$P_y = 0,29 P_w^{1,15}$$

حيث:

P_y : هي النسبة المئوية السنوية

P_w : النسبة المئوية للشهر الأسوأ.

لقد استعملت هذه الطريقة من أجل رسم منحنيات أداء INTELSAT-V مثلة في الشكل 5. وافتراض، فيما يتعلق بالنظام GHz 6/4 INTELSAT-V بأن الإرسال يتم من الولايات المتحدة الأمريكية إلى إيطاليا عبر محطتين قائمتين في منطقة المناخ المطري "K" وقد بلغت زاوية ارتفاع محطة الولايات المتحدة الأرضية 25° بينما بلغت زاوية ارتفاع محطة إيطاليا الأرضية 21°. أما في حالة النظام GHz 14/11 INTELSAT، فإن موقع محطة الإرسال الأرضية كان في المملكة المتحدة وبلغ ارتفاع 29°، بينما كان موقع محطة الاستقبال الأرضية في الولايات المتحدة أيضاً وزاوية ارتفاعها هي نفسها. وتقع محطة المملكة المتحدة الأرضية في منطقة المناخ المطري "G" ومحطة الولايات المتحدة الأرضية منطقة المناخ المطري "K"، مرة أخرى.

أما بالنسبة إلى النظام GHz 6/4 INTELSAT-V، فتراعي موازنة الوصلة إسهامات التداخل العائد إلى أنظمة الأرض وأنظمة أخرى وإلى مصادر أخرى من التداخل في القناة نفسها أو في القنوات المجاورة. وقد أقر بإعادة استعمال التردد أربع مرات مع تمييز الاستقطاب والعزل الفضائي. وأدخلت تغيرات قدرة خرج المرسل المستجيب العائد إلى التغيرات في نقطة التشغيل والتي يسببها الخبو على الوصلة الصاعدة - من خلال استخدام خاصية النقل اللاخطي في المرسل - المستجيب.

وافتراض، استجابة لحاجات هذه الدراسة، وبالنسبة إلى النظام GHz 14/11 INTELSAT أن 10 dB من التحكم في القدرة على الوصلة الصاعدة مطبقة تطبيقاً مستمراً، وافتراض أيضاً أن اختلاف الموقع مع فصل من 20 كيلومتر فيما بين الواقع يستعمل عند محطات الاستقبال. وأخذت بعين الاعتبار تغيرات قدرة خرج المرسل - المستجيب العائد إلى التغيرات في نقطة التشغيل كذلك - وهي التغيرات التي تعود إلى الخبو على الوصلة الصاعدة. ولم يرسم أي منحن من النظام INTELSAT القبول باستعمال تشفير لتصحيح الأخطاء. وتحب الإشارة إلى أن جميع المطارات INTELSAT TDMA قد صُمم من أجل اللجوء إلى نظام اختياري خاص بتصحيف الأخطاء الأمامي، ويستعمل شفرة فدرية معدل (128:112) 7/8 BCH تسمح بالحصول على كسب في التشفير قدره 3 dB على الأقل بالنسبة إلى معدل من الخطأ في البتات عند الدخول قدره 4×10^{-4} .

وتم الحصول على أداء النظام EUTELSAT بواسطة طريقة مشابهة. وتقابل إحصائيات التوهين مناخاً نموذجياً من أوروبا القارية، وهي مرتكزة على قياسات حققت مع النظام OTS. وهذه الإحصائيات مشابهة لمنحنى "المناخ H" في السلسلة ITU-R PN، لكنها أكثر تفاؤلاً.

2.4 اعتبارات الانتشار المتعلقة بالأهداف على المدى القصير

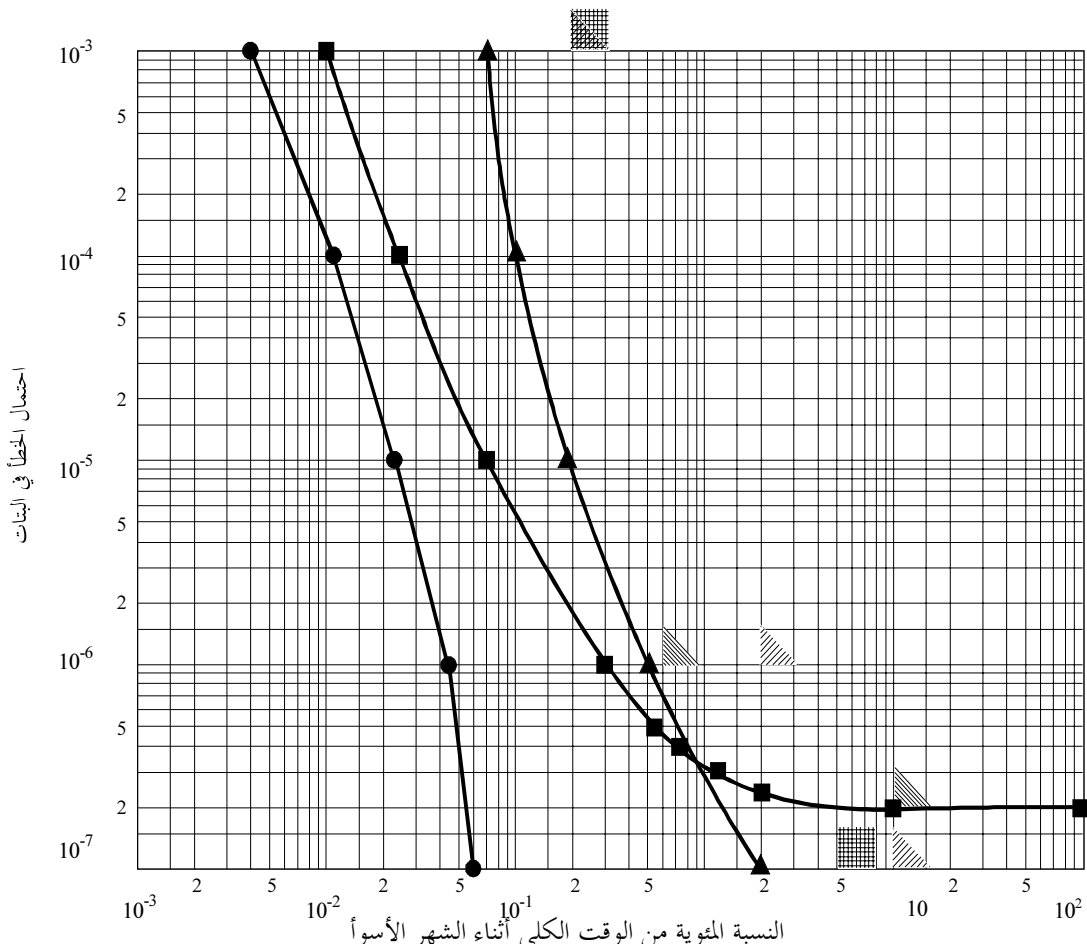
يعبر في توصيات القطاع ITU-R المتعلقة بالأداء عن بعض الأهداف قصيرة المدى من خلال النسب المئوية السنوية، كما يعبر، في المقابل، عن الأهداف على المدى الطويل من خلال النسب المئوية من الشهر الأسوأ. هذا ويعبر أيضاً عن الأهداف المذكورة

في التوصية ITU-T G.821 بالنسبة المئوية خلال فترة من الزمن تساوي شهراً تقريباً. وهذا يقود إلى الاستنتاج أن استعمال إحصائيات التوهين الشهيرية قد يbedo ضرورياً في جميع التوصيات المتعلقة بالسوائل وبأداء الشبكة ISDN.

ونجد المعلومات المتعلقة بهذا التحويل في السلسلة ITU-R PN حيث يمكن ملاحظة تغير عامل التحويل مع تغير المناخ ونسبة الزمن المئوية. ويتراوح عامل التحويل وفقاً للمناخ بين 4,5 و 6,5 بالنسبة إلى 0,01% من السنة.

الشكل 5

احتمال الخطأ في البتات وفقاً للنسبة المئوية من الوقت الكلي أثناء الشهر الأسوأ



INTELSAT-V, 6/4 GHz (بدون تصحيح الخطأ الأمامي)

EUTELSAT, 14/11 GHz

INTELSAT-V, 14/11 GHz
واختلاف الموضع عند الاستقبال (بدون تصحيح الخطأ الأمامي)
مع التحكم في القدرة على الوصلة الصاعدة

النموذج أ) (الفقرة 3.3)



النموذج ب) (الفقرة 3.3)



النموذج د) (الفقرة 3.3)



D07

أما فيما يتعلق بالتأثير الذي يسببه التوهين في الإرسال والواجب التحسب له عند الترددات المختلفة، فإن من الممكن إبداء بعض الملاحظات العامة حوله.

وهذه الملاحظات هي التالية:

- بالنسبة إلى الترددات التي تقل عن 10 GHz يصبح احتمال الخطأ BEP على المدى الطويل محدوداً في حالة إعادة استعمال الترددات 6/4 GHz المشار إليها أعلاه.
- بالنسبة إلى الترددات التي تتراوح 10-15 GHz يصبح احتمال الخطأ BEP على المدى القصير (10^{-3}) محدوداً وذلك في حالة عدم اللجوء إلى تقنية التنوع. وقد حللت سابقاً حالات التنوع وحالات عدم استعمال التنوع.
- بالنسبة إلى الترددات التي تفوق 15 GHz ولا سيما عند 20/30 GHz، فيرجح أن يكون الاحتمال BEP على المدى القصير (10^{-3}) هو المحدد. ولكن لم يجر أي تحليل حول الموضوع.

3.4 نتائج القياسات على الساتل 1 TELECOM-1

كانت خصائص هذه الوصلة المشابهة للنموذج A) في الشكل 3 هي التالية:

- موازنة الوصلة المحسوبة من أجل الحصول على معدل للأخطاء أفضل من 10^{-4} في أثناء 99,9% من الوقت وهذا ما يقابل معدلاً يساوي 10^{-7} تقريباً في السماء الصافية؛
- $\text{dB } 14,00 = E_b/N_0$ ؛

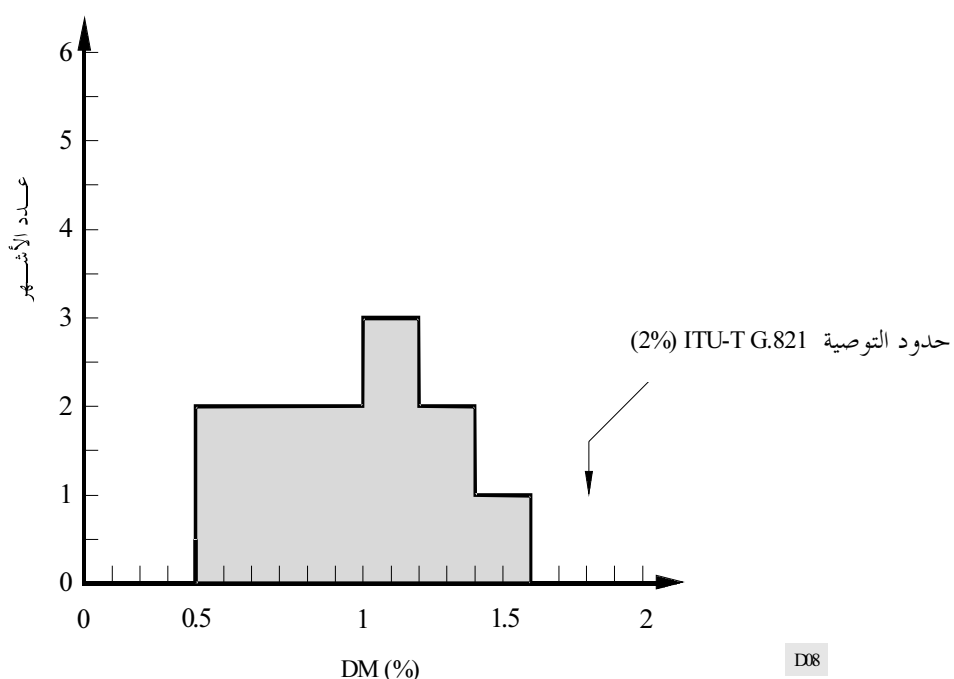
معدل البتات المرسل = 8,768 Mbit/s بدون تصحيح مباشر للأخطاء؛

- الإرسال في النطاق GHz 6/4.

ويشار في الشكلين 6 و 7 إلى نتائج هذه الاختبارات بالنسبة إلى الدقائق المنحطة DM والثواني الخاطئة ES، على التوالي. ومثلث الثواني شديدة الأخطاء SES بين 0,01% و 0,02%.

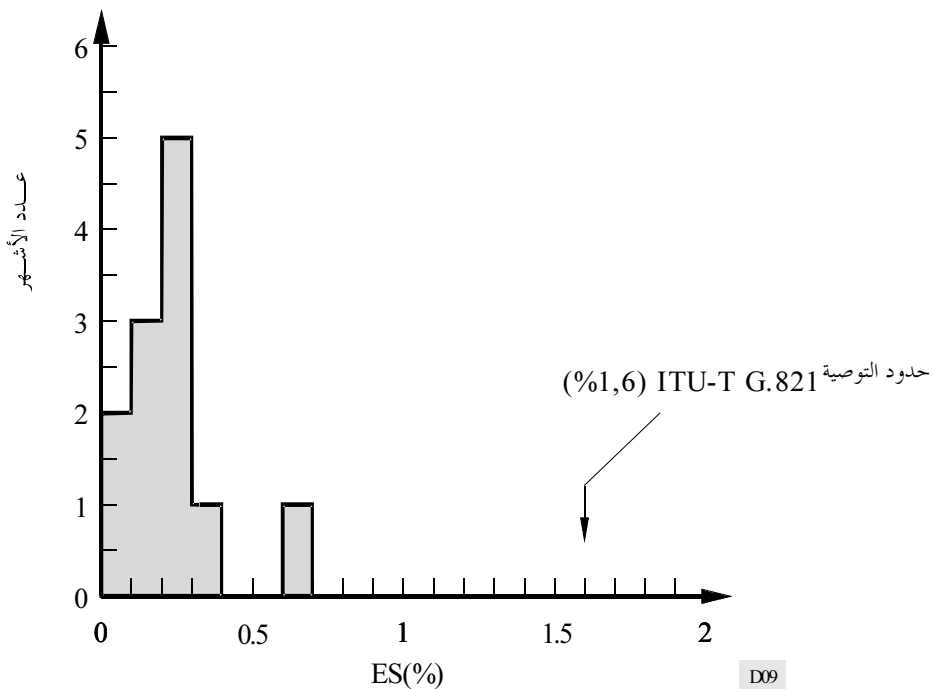
الشكل 6

توزيع الدقائق المنحطة (DM) على أساس شهري



الشكل 7

توزيع الشواني الخاطئة (ES) على أساس شهري



ولا تبين هذه النتائج عدم التيسير العائد إلى ظاهرة التالل التي تحدث في المنطقة الاستوائية حيث تقع المحطة الأرضية Trou-Biran.

وقد لوحظ أثناء القيام بالقياسات أن التداخلات الشمسية تسبب زيادة في وقت عدم التيسير وزيادة في الشواني شديدة الأخطاء SES (التوصية ITU-R S.579) تتوقع نسبة من عدم التيسير بقدر 0,2 % خلال أي شهر فيما يتعلق بأية ظاهرة تعود إلى شروط الانتشار).

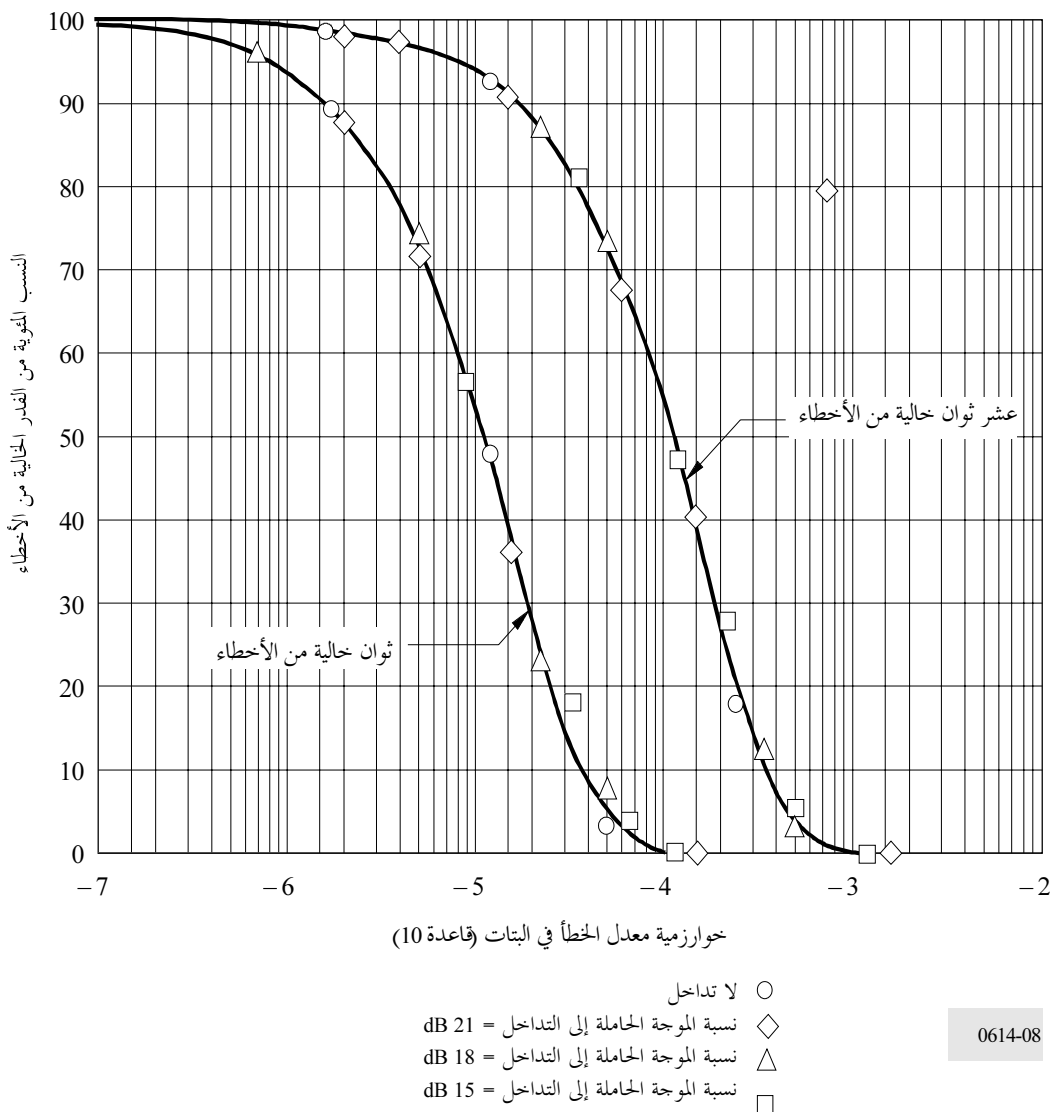
توزيع الأخطاء على وصلة ساتلية وتأثيرات التشغيل غير المشفر والتشغيل الذي يستعمل تصحيح الخطأ الأمامي (FEC) 5

مقدمة 1.5

تعتبر الطريقة المعروضة في هذه الفقرة من أصل تحديد ما إذا كان أداء الوصلة الساتلية كافياً لاستجابة الشروط المبينة في التوصية ITU-T G.821 مبنية على الافتراض بأن الأخطاء التي تنتجهها الوصلة الساتلية تحدث بصفة عشوائية. وتعتبر هذه الفرضية صحيحة عموماً، فيما يتعلق بالوصلات التي لا تستخدم تصحيح الخطأ الأمامي (FEC). ويعطي الشكل 8 مثالاً لصلاحية هذه الفرضية.

الشكل 8

توزيع القدر الخالي من الأخطاء: kbit/s 64، ولا تشفير بتصحيح FEC



يكون توزيع الأخطاء الفردية في البتات على شكل "رشقات" في الوصلات التي تستخدم تصحيح الخطأ الأمامي (FEC) أو مجمعاً بسبب تشغيل مفكك الشفرة FEC، وتحدث الأخطاء عند خرج مفكك الشفرة على شكل زمر وتفصل الزمر فوائل زمنية خالية من الأخطاء طويلة نسبياً. ويمكن تعريف كل زمرة أو "حدث من الأخطاء" باعتبارها فاصلان يبدأ بخطأ في البتات وينتهي به، ويحتوي على عدد من الأخطاء فيما بينها. وتحتفل هذه "الأحداث من الأخطاء" في الطول، كما أن المعدل BER داخل هذه الفوائل قد يصل إلى 0,5. وقد قدمت معلومات إلى القطاع ITU-R تدل على أن حدوث هذه "الأحداث من الأخطاء" عشوائي ومن ثم يمكن محاكاته بنموذج إحصائيات من النمط الثنائي أو من نمط بواسون.

ويبيّن الشكل 8 مثلاً لفرضية خطأ عشوائي. وتظهر نتائج قياسات ميدانية تقارن بين توزيع الفوائل الخالية من الأخطاء (EFI). والثوانى الخالية من الأخطاء، وعشر الثوانى الخالية من الأخطاء مع توزيع للأخطاء في البتات من نمط " بواسون". ويظهر بوضوح التوافق بين المعلومات المقيدة والتوزيع النظري. كما ثُبّط المعلمات أن التوافق يكون جيداً كذلك بين الأنظمة التي تؤثّر فيها الضوضاء الحرارية والضوضاء الحرارية إضافة إلى التداخل. وقد أجريت هذه القياسات على وصلة ساتلية عروية بمعدل 120 Mbit/s، وعلى قناة فرعية بمعدل 64 kbit/s ضمن شروط مختلفة من التداخل في TDMA. وقد شُغل النظام ضمن شروط متخلفة من التداخل في القناة نفسها الذي تسبّبه موجة حاملة مستمرة مشابهة بمعدل 120 Mbit/s.

وتبين أن المساهمات الرئيسية للأخطاء على الوصلات الساتلية الرقمية تعود إلى تأثيرات الانتشار والتداخل التي يمكن وصفها في توزيع من نمط ” بواسون ”. إلا أنه حين يطبق تصحيح الخطأ الأمامي (FEC) (المستخدم في عدة أنظمة ساتلية رقمية من أجل تحسين الأداء) على القناة الرقمية، فإن الأخطاء التي تصل إلى خرج مفكك الشفرة تميل إلى الحدوث في رزم ومن ثم تبتعد عن قانون بواسون. ويمثل هذا التأثير للحشد بقياس الفواصل EFI الموضحة في الشكل 9. وتعلق درجة الابتعاد عن قانون بواسون بمخططات التشفير وتعدد الإرسال المميزة المستخدمة.

وتعرض هذه الفقرة أمثلة عن مخططات تشفير نموذجية ونتائج قياسات تظهر تأثير مخططات FEC محددة على الوصلة الساتلية الرقمية وتدخل غاذج تمهدية رياضية يمكن استخدامها من أجل وصف خاصية الرشقات.

2.5 خصائص مخططات التشفير FEC النموذجية

1.2.5 تشفير معدل BCH 7/8

يستعمل التشفير FEC بمعدل 7/8 (Bose Chaudhuri Hocquenghem BCH) استعملاً واسعاً في الأنظمة الساتلية الرقمية أي الأنظمة TDMA 120 Mbit/s من النظام INTELSAT. وتصحح هذه الشفرة الفدرية إلى خطأين في فرقة من 127 بنة ويمكن أن تكشف ثلاثة أخطاء، إلا أن مفكك الشفرة لا يبدأ بالعمل في هذه الحالة. ومن ثم فإن عدد الأخطاء الأكثر احتمالاً في فرقة BCH هو 3 عند خرج مفكك الشفرة. وتعاد بنية قطار البثات في هذا المخطط إلى فرقة من 112 بنة للمعلومات تضاف إليها 15 بنة تشفير إثنانية وبنة زائفة، ويحافظ بهذا على طول إجمالي للفرقة من 125 بنة. ومن ثم وأثناء عملية التشفير، تفصل البثات المتماسة ذات العدد 128 الخاصة بقناة معينة بمعدل 64 kbit/s وتحتاج إلى ظهور في البداية في رشقة فرعية، وفقاً لإحدى الطرائق السبع التالية:

أ) 112: 16	ب) 96: 32	ج) 80: 48	د) 64: 64
ه) 48: 80	و) 32: 96	ز) 16: 112	ـ)

ونتيجة لذلك، يمكن للقنوات الفردية أن تظهر أربع درجات مختلفة من ” طابع الرشقة ”، فتكون أ) وز) لها أقصى طابع رشقي وـ) أقل طابع رشقي.

2.2.5 التشفير التلإفيفي – وطريقة ” فيتربي ” (Viterbi) لفك التشفير

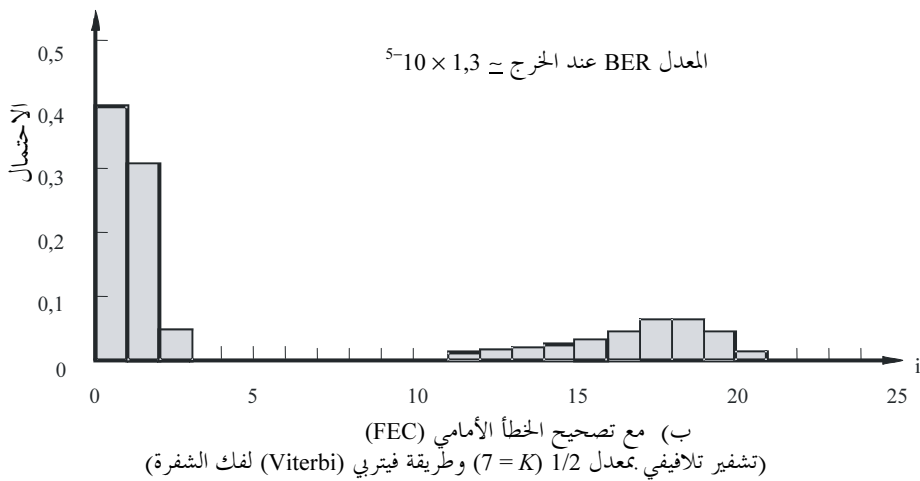
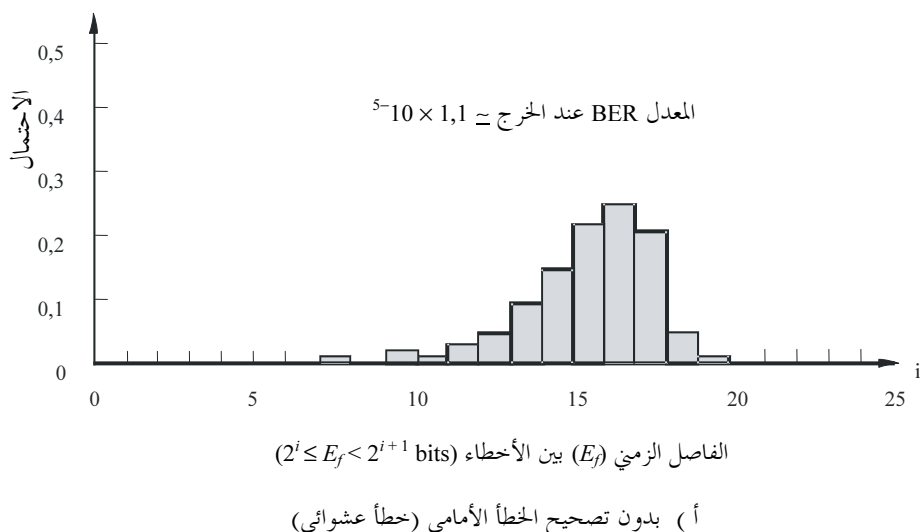
تعتبر تركيبة تقنيات التشفير التلإفيفي وتقنيات فيتربي لفك الشفرة مخططاً FEC نموذجياً يطبق في عدة أنظمة ساتلية.

وتتضمن هذه الطريقة تخزين تتابعات من البثات في دائرة، ثم مقارنة هذه التتابعات مع القطار الرقمي المستقبل من أجل تحديد التتابع الأقرب إلى أن يكون صحيحاً. وتنتج أحداث الأخطاء عن خرج مفكك الشفرة عن انتقاء تتابع أو مسیر غير صحيحين للمعطيات. ويسبب الانتقاء غير الصحيح أخطاء عند خرج مفكك الشفرة لكن هذه الأخطاء لا تحدث بالضرورة متتالية. ويكون طول حدث الخطأ دالة لتشكيلة الكودك لا سيما طول الذاكرة المقابل للمسير. وتطلب، في العادة، شفرة بمعدل 1/2 وذات 64 حالة، وطول تقييد من 7، طولاً للذاكرة من 37 بنة تقريباً، في حالة الطريقة فيتربي لفك الشفرة. وهذا الطول للذاكرة هو أكبر من أي حدث لخطأ يظهر وفقاً لاحتمال دلالي.

ويبين الشكل 9 النتائج التجريبية لتوزيع الأخطاء مع فك الشفرة FEC وبدونها معبراً عنها بالفواصل الزمنية الحالية من الأخطاء .EFI

الشكل 9

توزيع الأخطاء مع التصحيح FEC وبدونه

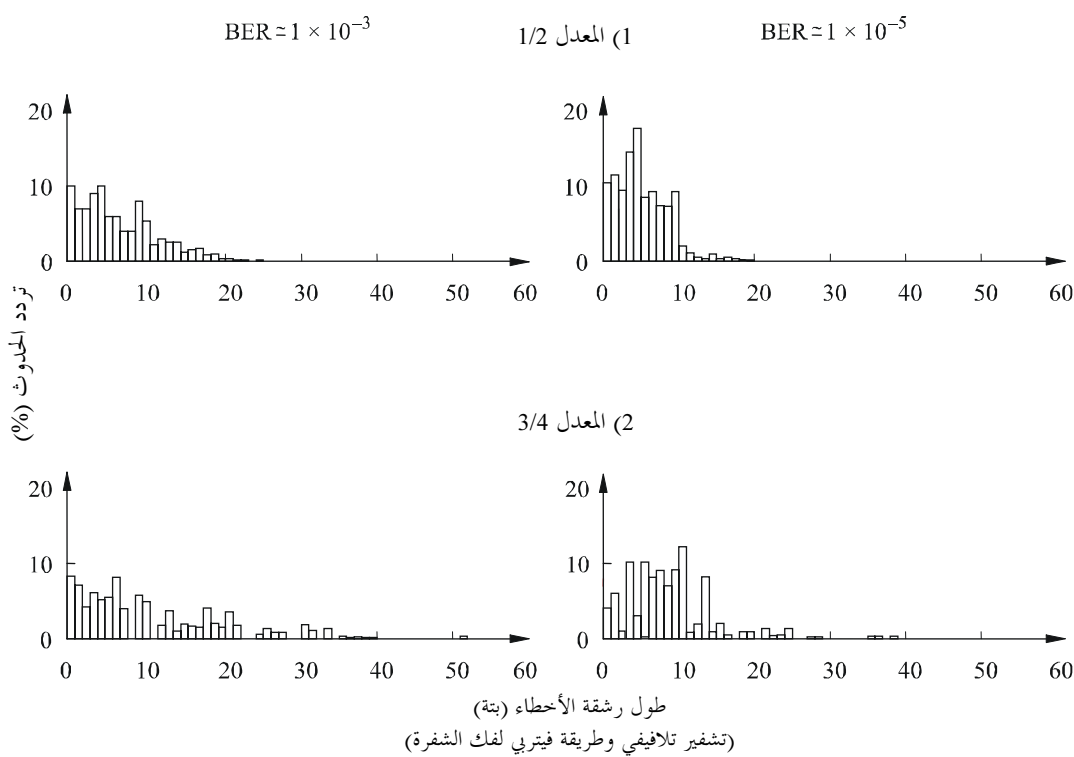


يلاحظ هنا فروقات كبيرة: فالتوزيع الأول له ذروة مميزة للتوزيع العشوائي بينما يمتلك التوزيع الآخر ذروتين. وتبين إحدى الذروتين (في الجانب الأيمن) توزيع الفواصل الزمنية بين رشقات الأخطاء وتدل على حدوثها حدوثاً عشوائياً. أما الذروة الثانية (في الجانب الأيسر)، فتبين توزيع الأخطاء في البتات داخل رشقة من الأخطاء.

ويعرض الشكل 10 النتائج التجريبية للتوزيع طول رشقات الأخطاء من أجل المعدلين $1/2$ و $3/4$ عند قيمتين للمعدل BER. ويعرف طول حدث لرشقة من الأخطاء بأنه عدد البتات بين أول خطأ يحدث في الرشقة وآخر خطأ يحدث فيها. وتبين الشكل 11 العلاقة بين متوسط طول رشقة الأخطاء والمعدل BER بعد فك الشفرة.

الشكل 10

توزيع طول رشقات الأخطاء



0614-10

ويلاحظ في هذه الأشكال أنه كلما زاد معدل الشفرة ومعدل الأخطاء BER كلما طالت مدة رشقات الأخطاء. ويكون عموماً متوسط طول رشقات الأخطاء 5 بتات و 10 بتات تقريباً من أجل معدل الشفرة $1/2$ و $3/4$ ، على التوالي. وثمة عدد قليل من رشقات الأخطاء يتجاوز طوله 20 بتة. وتجدر الإشارة إلى أن كل البتات داخل رشقة من الأخطاء ليست بالضرورة أخطاء ويمكن اعتبار معدل الأخطاء داخل رشقة من الأخطاء على أنها تساوي $1/2$ تقريباً، أي أن معدل عدد الأخطاء المدرجة في رشقة الأخطاء هي 2 أو 3 لمعدل تشغيل من $1/2$ و 5 تقريباً لمعدل من $3/4$ ، وقد أجريت التجارب أعلاه في محطة أرضية ذات معيار E1 تشغيل وفقاً لأسلوب عروة الرجعة الساتلية وتستخدم موجة حاملة IBS بمعدل 64 kbit/s INTELSAT.

نتيجة لما سبق من نقاش، تعطي العلاقة التالية المعدل BER بعد فك الشفرة:

$$P_e = \frac{L_b / 2}{L_b + E_{fb}} \quad (\text{المعدل } BER \text{ بعد فك الشفرة})$$

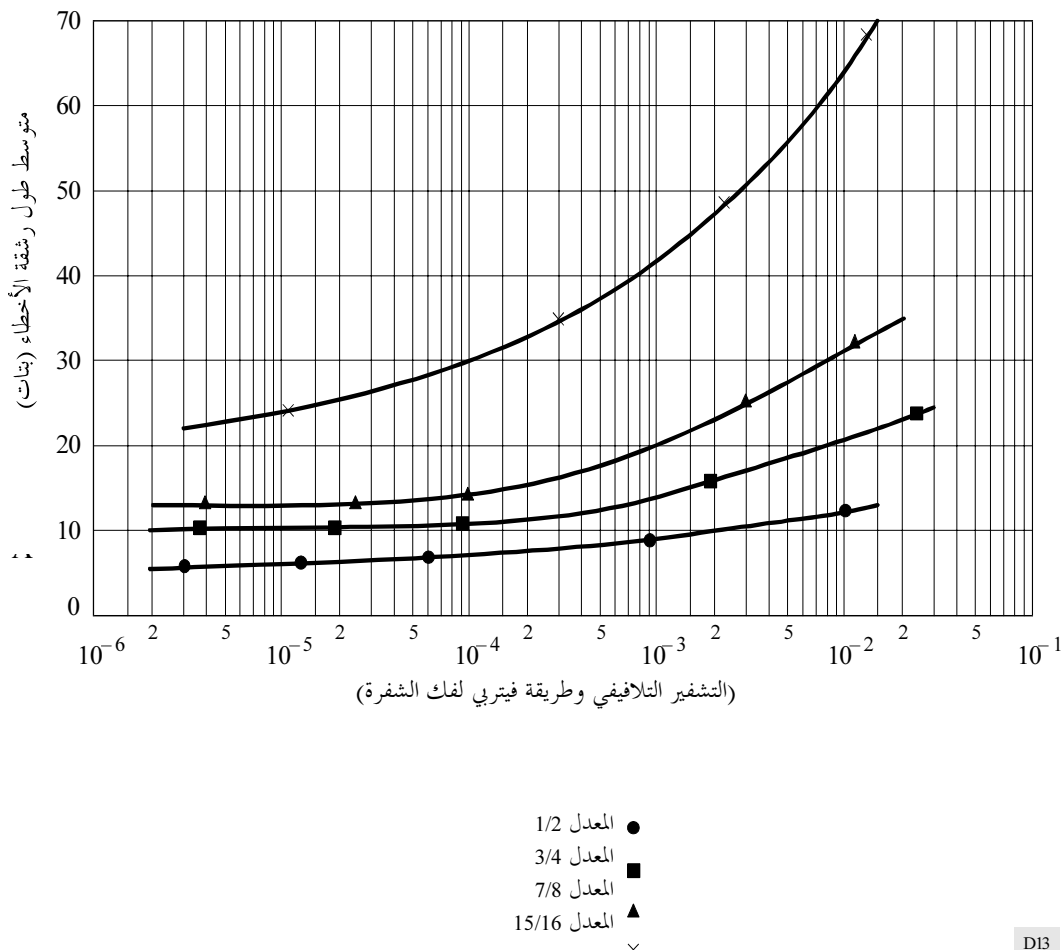
حيث يمكن استخلاص متوسط الفاصل الزمني بين رشقات الأخطاء على النحو التالي:

$$E_{fb} = \left(\frac{1}{2 P_e} - 1 \right) L_b \leq L_b / 2 P_{ee}$$

و L_b هو متوسط طول رشقة الأخطاء.

الشكل 11

العلاقة بين متوسط طول أحداث رشقات الأخطاء والمعدل BER



واثنة تأثير آخر يجب أن يؤخذ في الاعتبار وهو العلاقة بين بنية رشقة الأخطاء وتعدد إرسال القنوات ذات 64 kbit/s بالمعدلات الأولية (2048 kbit/s) أو معدلات أعلى. ويبين ذلك في الشكلين 12 أ و12 ب من أجل معدل BER يساوي 10^{-6} . فيمثل في الشكل 12 أ) رسم بياني لعدد الأخطاء في كل رشقة من أجل إشارة مركبة بمعدل 1920 kbit/s (30 فجوة زمانية) في قطار من 48 بنة يعود إرسالها وفقاً للتوصية ITU-T G.704 إلا أن عدد الأخطاء في الرشقة داخل قناة فردية ذات 64 kbit/s يميل إلى التناقص كما بينه الشكل 12 ب).

3.2.5 التشفير التلايفي - وفك الشفرة التابع

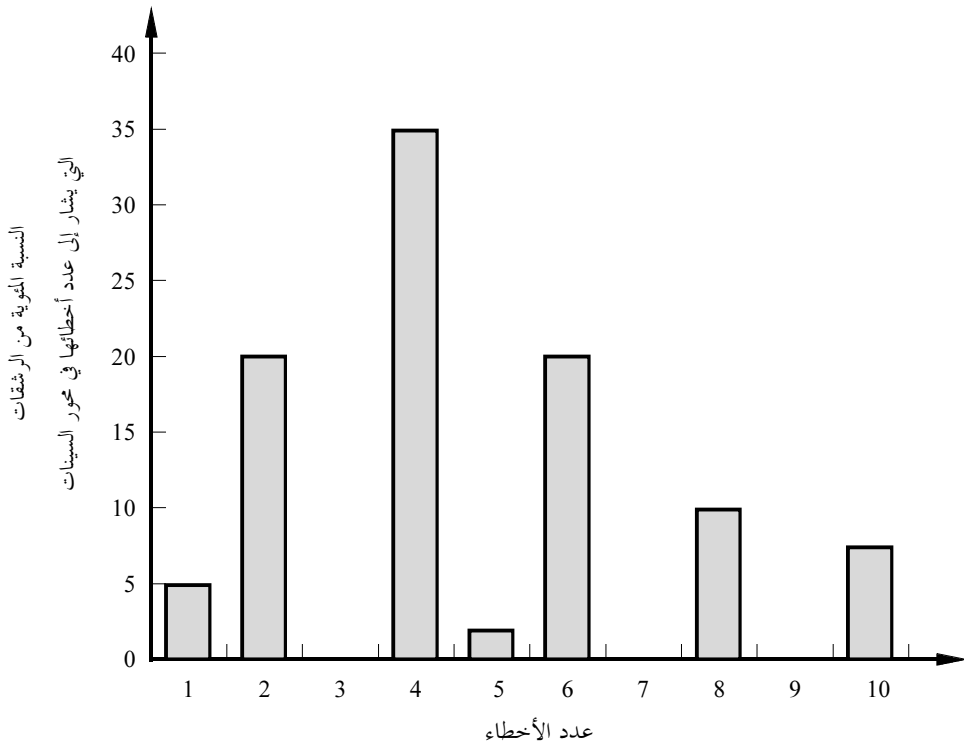
يستخدم فك الشفرة التابع خوارزمية احتمالية لفك الشفرة يجري فيها حساب طول المسير بالنسبة فقط إلى مسیر تم دراسته. ويرتكز القرار المتعلق بالمسير على طول المسيرات التي تم دراستها.

خلافاً لطريقة فيتري في فك الشفرة التي يتزايد فيها تعقيد الحساب تزايداً أسيّاً مع طول التقىد، فإن فك الشفرة التابع يسمح بطول تقىد أطول بكثير يتحسن فيه المعدل BER تحسناً ملماساً. ويتم ذلك لأن المعدل BER يتناقص في الشفرة التلايفية تناقصاً أسيّاً مع طول التقىد.

تعتبر خوارزمية فانو (Fano) وخوارزمية التكديس من بين مختلف أنماط خوارزميات فك الشفرة التابع الأكثر استعمالاً. وتعنى هذه الفقرة بالخوارزمية الأخيرة. وتعود الأخطاء عند خرج مفكك الشفرة بشكل رئيسي إلى فيض الذاكرة في المكدس وأو الفائض في فترة فك الشفرة.

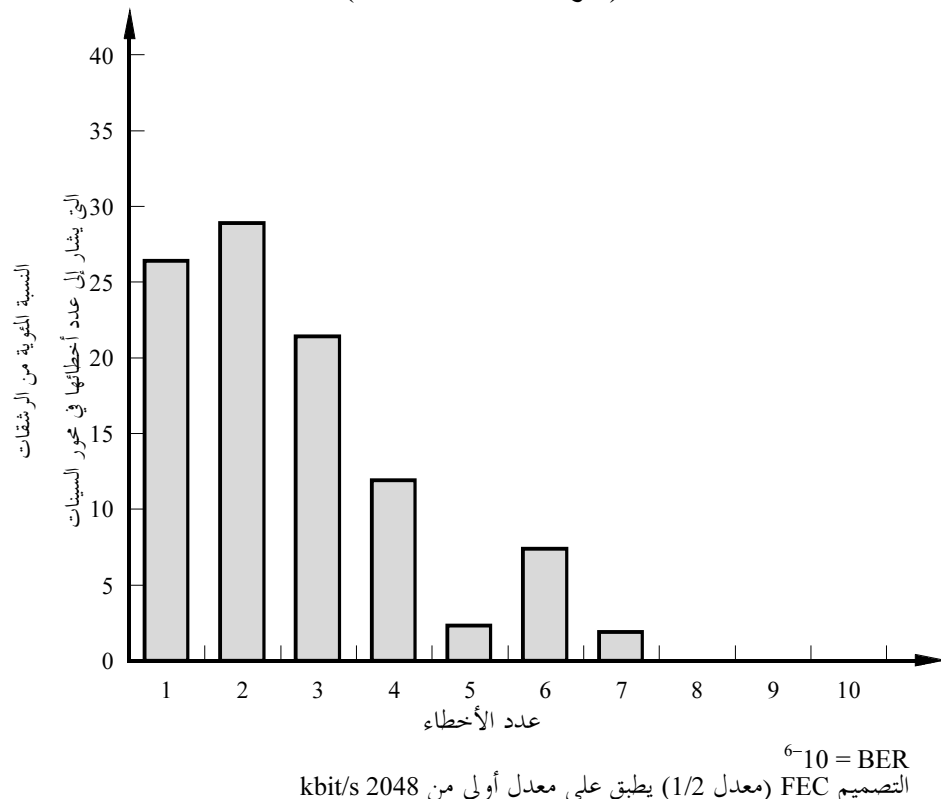
ويبين الشكل 13 مثلاً لتوزيع الأخطاء عند المعدل BER بعد فك الشفرة يساوي 3×10^{-4} تقريباً لمفكك شفرة تابع بمعدل 1/2 مع خوارزمية تكديس تعمل بمعدل للمعلومات من 64 kbit/s. ويلاحظ أن خرج مفكك الشفرة يتضمن عدداً من رشقات الأخطاء الطويلة يتجاوز كل منها 65 بتة وبعض الأخطاء العشوائية بين رشقات طويلة من الأخطاء.

الشكل 12 أ
الرسم البياني لعدد الأخطاء في كل رشقة



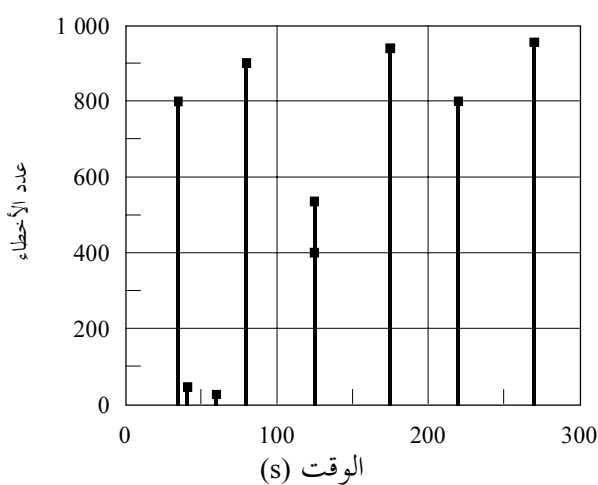
الشكل 12 ب)

الرسم البياني لعدد الأخطاء في كل رشقة في قناة بمعدل 64 kbit/s داخلي تعدد إرسال أولي من 2048 kbit/s (ITU-T G.704 التوصية)



الشكل 13

توزيع الأخطاء عند خرج مفكك الشفرة التتابعى



3.5 التأثيرات على الدقائق المنحطة والثوابي شديدة الأخطاء والثوابي الخاطئة

1.3.5 نقاش حول النوعية

تكون تأثيرات رشقات الأخطاء التي يسببها التشفير التلافي في FEC على النحو التالي:

الدقائق المنحطة (DM)

تحتوي الدقيقة المنحطة على خمسة أخطاء أو أكثر. ويمكن، في حالة طريقة "فيتري" لفك الشفرة بمعدل $3/4$ والذي غالباً ما يسبب رشقات من خمسة أخطاء أو أكثر، أن تتزايد احتمالات الدقائق المنحطة بالنسبة إلى الأخطاء العشوائية حتى ضمن متوسط معدل الأخطاء نفسه. أما في حالة طريقة فيتري لفك الشفرة بمعدل $1/2$ ، فإن هذه الزيادة قد تكون أقل.

الثوابي شديدة الأخطاء (SES)

تحتوي ثانية شديدة الأخطاء (SES) على 65 خطأ أو أكثر. ولما كان عدد الأخطاء في رشقة أخطاء واحدة تعود إلى التصحيح بأقل من 65 خطأ بكثير، فإن ثانية واحدة SES قد تحتوي على عدة عشرات من رشقات الأخطاء. ومن الممكن لا يؤدي ذلك إلى فرق دلالي في احتمالات الأخطاء SES بين رشقات الأخطاء والأخطاء العشوائية.

الثوابي الخاطئة (ES)

عندما يحدث تركيز للأخطاء، كما هو الحال بالنسبة إلى قناة مع تصحيح FEC، فإن احتمالات الثوابي الخاطئة (ES) تتناقص بالنسبة إلى الأخطاء العشوائية مع متوسط نسبة الأخطاء نفسه.

ويكون تأثير رشقات الأخطاء أقل لأن أكثرية الوصلات الساتلية تعدد الإرسال في عدة قنوات وأن رشقات الأخطاء تتشتت على هذه القنوات متعددة الإرسال.

2.3.5 القياسات

1.2.3.5 BCH التشفير

لقد أجريت القياسات على مطraf للحركة TDMA بمعدل 120 Mbit/s في نظام EUTELSAT، يشغل وفقاً لأسلوب الرشقة وعروة مغلقة عند التردد المتوسط (IF) حيث تضاف الضوضاء. ويولد محلل للمعدل BER تتبعاً شبه عشوائي بمعدل kbit/s 64، وتقاس النسبة المئوية للثوابي الخاطئة (ES) والدقائق المنحطة (DM) والثوابي شديدة الأخطاء (SES) وفقاً للتوصية .ITU-T G.821

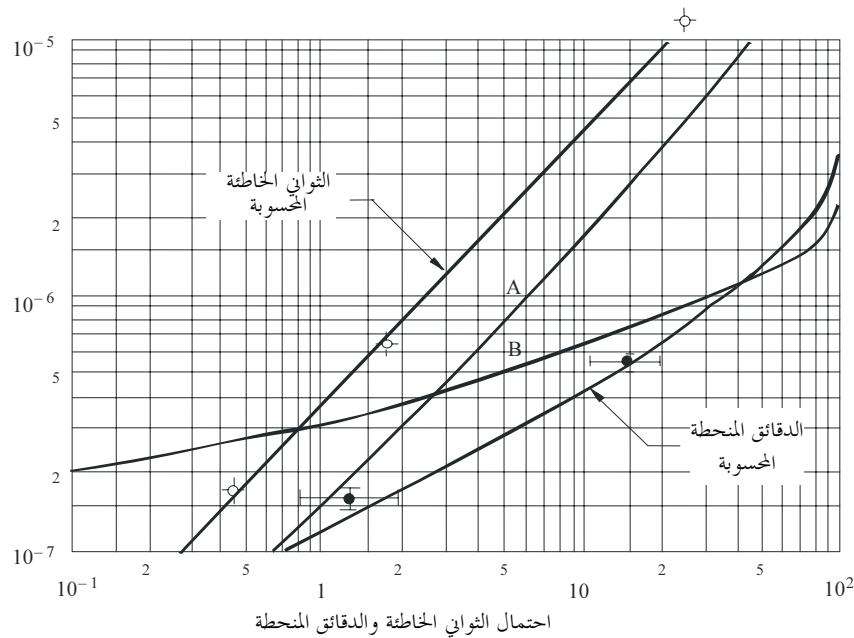
وأجريت القياسات من أجل الفحوصين الزمبيتين المصاحبين للحالتين أ) ود) المذكورتين في الفقرة 1.2.5، ولوحظ أن الإحصائيات المتعلقة بالثوابي شديدة الأخطاء وبالدقائق المنحطة (الشكل 14) كانت تبتعد عن قانون بواسون ابتعاداً ملماساً.

ولوحظ فيما يتعلق بالثوابي SES رحصة هامشية على التوزيع في حالة النسب المئوية الصغيرة من الوقت حين يستعمل التصحيح FEC (الشكل 15). إلا أن هذه الرحصة صغيرة جداً وغير ذي دلالة إذا ما لوحظ تسطيح المنحني حتى ولو أثبتت حساب فترات الثقة أن رحصة فعلية قد حدثت.

ولوحظ أن هذه القياسات تتوافق مع التنبؤ النظري الموضح في الفقرة 2.4.5 توافقاً جيداً.

الشكل 14

إحصائيات الثواني الخاطئة والدقائق المنحطة عند معدل 64 kbit/s

أتمتة
بيانات
الحمل

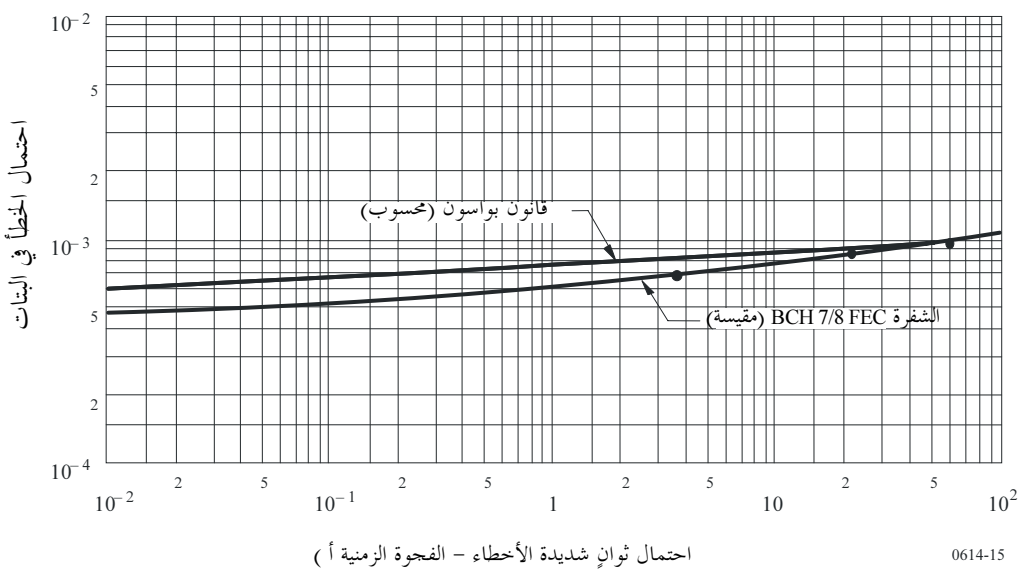
المنحنى A: ثوانٍ خاطئة، قانون بواسون

المنحنى B: دقائق منحطة، قانون بواسون

0614-14

الشكل 15

احتمال ثوانٍ شديدة الأخطاء



0614-15

2.2.3.5 التشفير التلافيي - طريقة فيتري لفك الشفرة

أجريت قياسات مشابهة من أجل التشفير التلافيي وطريقة فيتري لفك الشفرة وهي مبينة في الأشكال من 16 إلى 19. وتحقق النتائج، كما هو ملاحظ، بالنسبة إلى المعدلين $1/2$ و $3/4$ في 64 kbit/s والمعدل $3/4$ لقناة واحدة ذات 64 kbit/s في قطار مركب بمعدل 2048 kbit/s .

3.2.3.5 التشفير التلافيي - وفك الشفرة التابع

تدل المربعات في الشكل 18 إلى الثواني ES والدقات DM فيما يتعلق بمفكك الشفرة التابع داخل قناة ذات ضوضاء غوسية بيضاء مضافة (AWGN). ويلاحظ أن أداء الثواني ES لمفكك الشفرة التابع هو أفضل من أداء النظام غير المشفر ومواز للنتيجة الحقيقة في نظام غير مشفر. إلا أن أداء الدقات المنحطة DM مختلف تماماً عن أداء النظام غير المشفر لكنه بمحاور للأداء في طريقة فيتري لفك الشفرة.

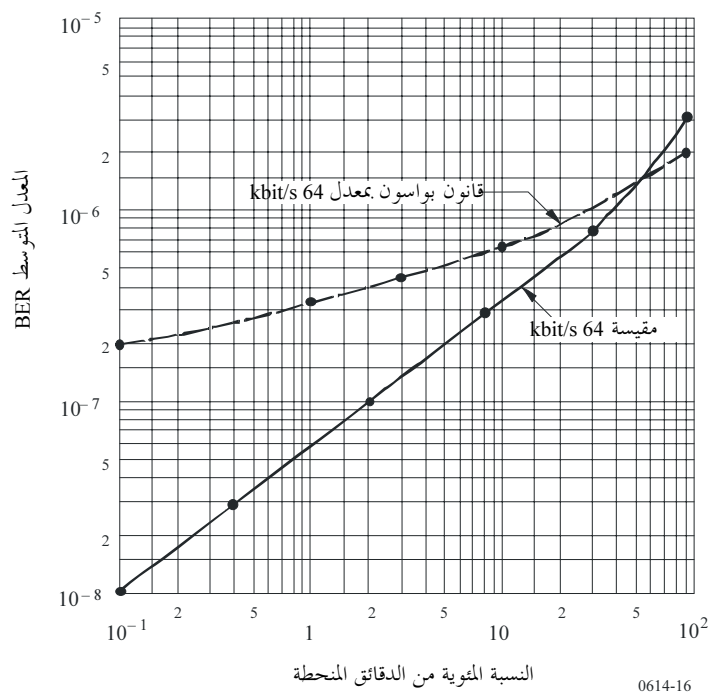
ويعتبر الأداءان ES و DM لمفكك الشفرة التابع أفضل من طريقة فيتري لفك الشفرة. هذا لأن مفكك الشفرة التابع يدخل بالنسبة إلى متوسط المعدل BER نفسه. وكما تصفه الفقرة 3.2، رشقات أطول من الأخطاء مما يحدث في طريقة فيتري لفك الشفرة، وقد تتجاوز هذه مئات الباتات ورشقات قصيرة من الأخطاء العشوائية بين رشقات الأخطاء الطويلة.

ومن ثم، فإن الثواني الخاطئة لمفكك الشفرة التابع هي أفضل ما هي عليه في طريقة فيتري لفك الشفرة إذ أن هذه الأخيرة تدخل عدداً من الأخطاء العشوائية ورشقات قصيرة من الأخطاء. إضافة إلى ذلك، ولما كان تعريف الدقات المنحطة (DM) يشتري أحداث الثواني SES، فإن الأداء DM لمفكك الشفرة التابع هو أعلى مما هو عليه في طريقة فيتري لفك الشفرة.

أما مربعات الشكل 19، ف تعرض أداء الثواني SES لمفكك الشفرة التابع. وفيما يتعلق بالمعدلات BER المعتدلة أو المنخفضة، تتناقص النسبة المئوية للثواني SES في مفكك الشفرة التابع تناقضاً تدريجياً وهي أقل من النسبة في طريقة فيتري لفك الشفرة. وهذا يعود إلى أن مفكك الشفرة التابع يدخل، عموماً، عدداً من رشقات الأخطاء أطول من 65 بتة.

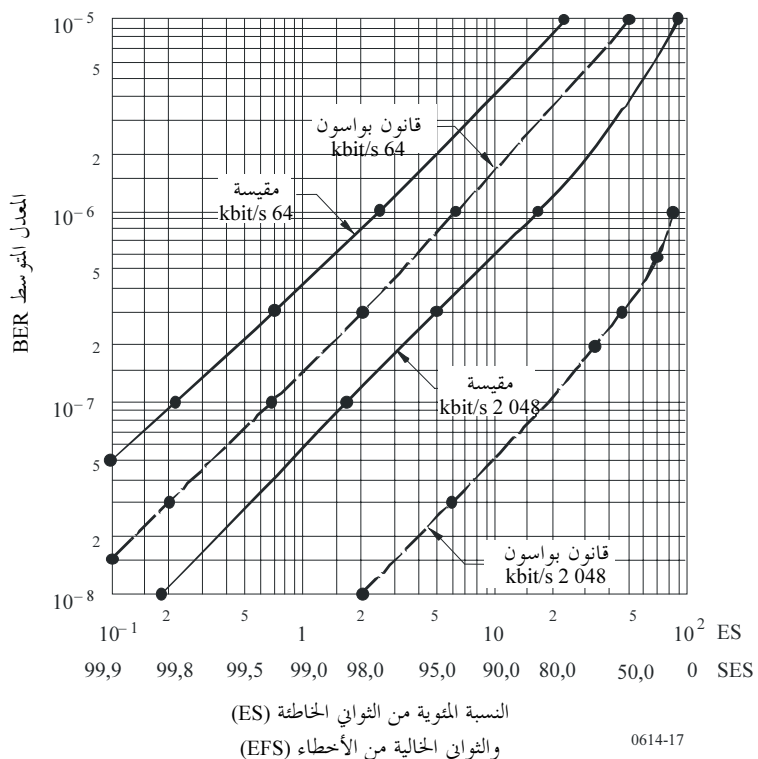
الشكل 16

النسبة المئوية من الدقائق المنحطة لقناة متعددة الإرسال بمعدل kbit/s 64
 (التوصية ITU-T G.704) داخل قطار من البتات بمعدل kbit/s 2 048
 (التصحيح FEC ب معدل 3/4، وخلط ذاتي التزامن)
 موافق لمواصفات (INTELSAT IDR)



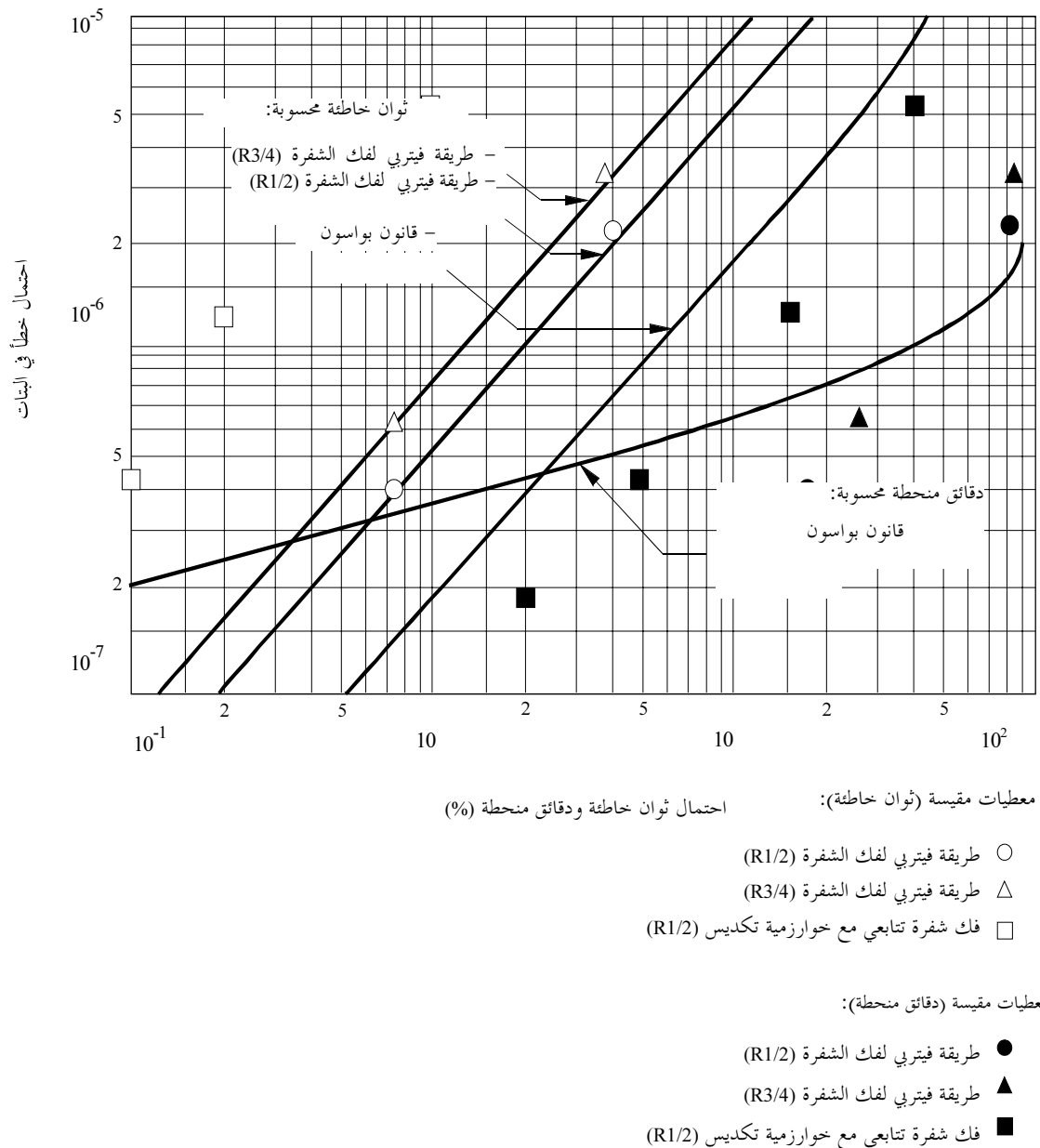
الشكل 17

النسبة المئوية من الشواني الخاطئة والشواني الخالية من الأخطاء من أجل قناة متعددة الإرسال ذات kbit/s 64 (التوصية ITU-T G.704) في قطار معدل 2 048 kbit/s في قطار مركب معدل FEC بمعدل 3/4، وقطار ذاتي التزامن موافق لمواصفات (INTELSAT IDR)



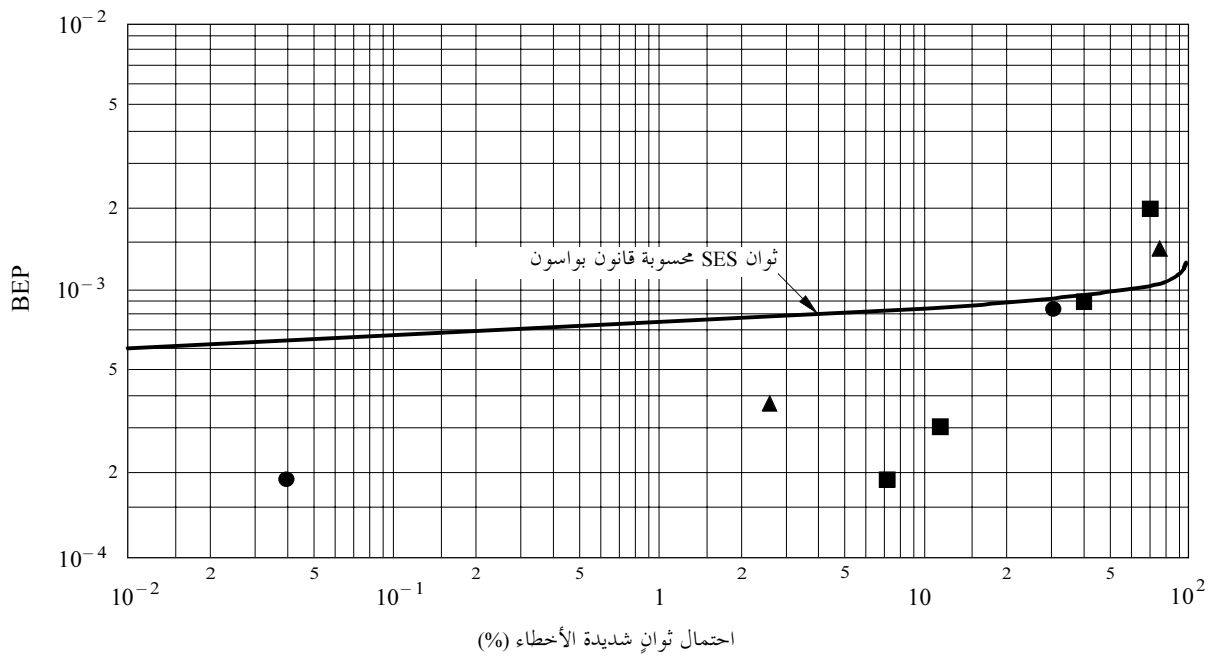
الشكل 18

إحصائيات الشواني الخاطئة والدقائق المنحطة في قطار من البتات معدل 64 kbit/s (لا تخلط للمعطيات أو تشغيل تفاضلي)



الشكل 19

احتمال ثوان شديدة الأخطاء (SES) من أجل قطار بثات معدل 64 kbit/s



معطيات مقيدة:

طريقة فيتري لفك الشفرة (R1/2)



طريقة فيتري لفك الشفرة (R3/4)



فك شفرة تابعى مع خوارزمية تكديس (R1/2)

3.3.5 التحليل الكمى

يبين الشكل 20 احتمال الدقائق المنحطة بدلاًلة احتمال الخطأ في البتات (BEP) في ثلاث حالات مختلفة من توزيع الأخطاء هي: α و β_m و β_w . الحالة α هي الحالة العشوائية المعتبرة في هذا الملحق. أما الحالتين β_m و β_w ففترضان أن الأخطاء ممتحنة لكن الرشقات نفسها تحدث عشوائياً. وتفترض الحالة β_m (المعتدلة) أن هناك بانتظام ثلاثة أخطاء في كل رشقة. بينما تفترض الحالة β_w (الأسوأ) أن هناك بانتظام 5 أخطاء في الرشقة. ويعرض الشكل العلاقات المستعملة لحساب المحننات. وهي بالفعل علاقات بواسون تطبق على الرشقات.

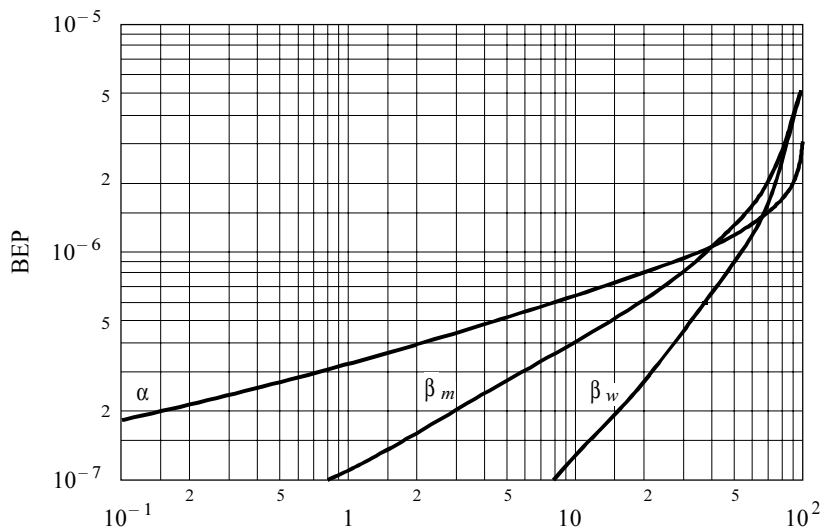
تترافق الدقائق المنحطة مع اتساع الرشقات في المنطقة ذات الاحتمال المنخفض BEP. وإذا تضمنت الرشقات إضافة إلى ذلك وبشكل منتظم 5 أخطاء في الرشقة الواحدة فإن أية دقة تستقبل رشقة تعتبر منحطة كما لو كانت هناك 5 أخطاء فقط. لكن إذا كان هناك عدد أكبر من الأخطاء في كل رشقة فإن الرشقات تفصل لاحقاً ويكون عدد أكبر من الدقائق حالياً من الرشقات. وللذا تعتبر الحالة β_w أسوأ حالة لتوزيع هذه المعلمة.

وإذا كانت توزيعات الأخطاء في الشكلين 10 أ) و 10 ب) (معدل $BER = 10^{-5}$) منتظمة تقريباً واعتبر حدوث رشقات الأخطاء حدثاً مستقلأً، فمن الممكن حساب الدقائق المنحطة وأداء الثوانى الخالية من الأخطاء (EFS).

يلخص الجدول 6 نتائج الحسابات. وتدرج أيضاً في الجدول حالة الأخطاء المزدوجة النموذجية للأنظمة ذات التشفير التفاضلي. وقد أحريت الحسابات بناء على الفرضية التي تكون فيها أداءات الدارة مطابقة، من وجهة نظر المعدل BER ، للنموذج D من الشكل 3. وتبين القيم في الجدول 6 أن رشقات الأخطاء يمكن أن تؤثر في أداءات الدارة الرقمية تأثيراً دلائلاً بالنسبة إلى المتطلبات المذكورة في التوصية ITU-T G.821. إلا أن هذا التحليل لا يأخذ في الاعتبار تأثير بنية تعدد الإرسال. فيحتاج هذا الحال لمزيد من الدراسة. وينبغي، في انتظار نتائج هذه الدراسات، أن يعني في تصميم الأنظمة التي تستعمل التصحيح، FEC، بالاستجابة للأهداف الخاصة بالدقائق المنحطة (DM).

الشكل 20

احتمال دقائق منحطة تفترض احتمال خطأ ثابت في البتات



احتمال 5 أخطاء أو أكثر في 384×10^4 بتة (أي احتمال دقائق منحطة من أجل معدل 64 kbit/s)

$$\text{الحالة } \alpha: \text{ قناة الخطأ العشوائي} \\ P(DM) = 1 - \left(1 + x + \frac{x^2}{2!} + \frac{x^3}{3!} + \frac{x^4}{4!} \right) e^{-x} \quad x = 384 \cdot 10^4 P$$

$$\text{الحالة } \beta_m: \text{ قناة رشقات الأخطاء المعدلة (3 أخطاء في كل رشقة)} \\ P(DM) = 1 - (1 + x) e^{-x} \quad x = 384 \cdot 10^4 P / 3$$

$$\text{الحالة } \beta_w: \text{ أسوأ حالة لقناة بالرشقات (5 أخطاء في كل رشقة)} \\ P(DM) = 1 - e^{-x} \quad x = 384 \cdot 10^4 P / 5$$

حيث:

احتمال الخطأ في البتات : P

احتمال الدقائق المنحطة : $P(DM)$

الجدول 6

الأداء (النسبة المئوية من الوقت المتيسر)					المدارف
رشقات الأخطاء (الشفرة 3/4)	رشقات أخطاء (الشفرة 1/2)	أخطاء مزدوجة	أخطاء وحيدة	التوصية ITU-T G.821	
6,7	6,2	2,67	1,87	2,0	دقائق منحطة
1,16	1,2	1,4	1,56	1,6	ثوان خاطئة

4.5 المحاكاة بالماذج الرياضية

يجب من أجل الإثبات بأن نظاماً معيناً يستجيب لشروط التوصية ITU-T G.821 أن يعرف العنصرين التاليان:

الإحصائيات المتعلقة باحتمال الخطأ في البتات BEP وفقاً للنسب المئوية من الوقت؛

-

- النموذج الرياضي الذي تحسب بواسطته الثواني الخاطئة (ES) والدقائق المنحطة (DM) والثواني شديدة الأخطاء (SES)، من أجل وصف توزيع الأخطاء عند المعدل kbit/s 64، مع مراعاة نمط التصحيح FEC المطبق وطريقة تعدد الإرسال المستعملة.

وقد ثبتت دراسة النموذجين التاليين.

1.4.5 توزيع نايمان- A (Neyman-A) الساري

ثمة نموذج إحصائي يمكن استعماله لوصف حشد الأحداث الاحتمالية في توزيع نايمان- A الساري. ويمكن لهذا التوزيع أن يصف بشكل خاص وصول الأخطاء على رشقات بسبب تأثيرات الانتشار والتداخل على الأنظمة الرقمية الساتلية. ويضمن تطبيق هذا النموذج استقلال رشقات الأخطاء أي الطابع العشوائي لوصولها والطابع العشوائي لمدة الرشقات (مع أن الأخطاء تصل في بعض المخططات للتصحيح FEC على رشقات من 3 أو 4 عن خرج مفكك الشفرة، وأن متوسط عدد الأخطاء الفعلي على قناة معينة أزيل عنها تعدد الإرسال يحتاج إلى التقدير انطلاقاً من معرفة النظام).

وتعطي العلاقة التالية نموذج "نايمان- A" الساري:

$$P(n) = \frac{(BEP / A)^n}{n!} e^{-NA} \sum_{k=0}^{\infty} \frac{k^n}{k!} (NA)^k e^{-kBEP/A}$$

حيث:

احتمال أن يحدث عدد من الأخطاء n في البتات N المرسلة : $P(n)$

متوسط عدد الرشقات : NA

: BEP/A متوسط قيمة الأخطاء في كل رشقة.

يمكن بهذا أن يحدد احتمال الثواني الحالية من الأخطاء (EFS) والدقائق المنحطة (DM)، على التوالي، بواسطه العلاقتين التاليتين:

$$\text{مع kbit/s 64} = N \quad P(0) = e^{-NA} \sum_{k=0}^{\infty} \frac{(NA)^k}{k!} e^{-kBEP/A}$$

$$\text{مع Mbit/s 3,84} = N \quad P(DM) = 1 - \sum_{n=0}^{4} \frac{1}{2} P(n)$$

2.4.5 التمثيل التحليلي لشفرة BCH

عندما يعرف نظام الإرسال (نمط التصحيح FEC المستعمل ومحظط تعدد الإرسال، إلخ.)، يمكن أن تستخلص العبارات التحليلية بدلاً من إجراء القياسات من أجل التنبؤ بالإحصائيات الخاصة بالمعلمات ES و DM و SES وفقاً لاحتمالات الخطأ .BEP

ويمكن استخلص العبارات التحليلية والحصول على التنبؤات في حالة الشفرة 7/8 BCH مع التصحيح FEC المستعملة في الأنظمة TDMA من INTELSAT و EUTELSAT المشغلة بمعدل Mbit/s 120 (انظر الجدول 7).

الجدول 7

**ملخص العبارات المستخدمة لحساب النسب المئوية
للثوابي ES والدقائق DM والثوابي SES**

BCH 7/8

$P = 100 \times \{(1 - e^{-L})\} \times u$ $L = BEP \times 42\,333,3$ $u = 0,667$ $u = 0,881$	في الحالة أ) في الحالة د)	النسبة المئوية من الثوابي الخاطئة (ES)
$P = 100 \times \{1 - (1 + L + L^2/2! \times (1 - u2) + L^3/3! \times (1 - u3) + L^4/4! \times (1 - u4)) \times e^{-L}\}$ $L = BEP \times 2,54 \times 10^6$ $u3 = 0,506$ $u3 = 0,510$ $u2 = 0,227$ $u2 = 0,111$	في الحالة أ) في الحالة د)	النسبة المئوية من الدقائق المنحطة (DM)
$P = 100 \times \{1 - (1 + L + L^2/2! + \dots + L^{38}/38!) \times e^{-L}\}$ $L = BEP \times 42\,333,3$		النسبة المئوية من الثوابي شديدة الأخطاء (SES)

5.5 التأثير في تصميم الأنظمة داخل النطاق GHz 14/11

يعتبر أن مقاييس التقييد للقناع المحدد في التوصية ITU-R S.614 في حالة الوصلة الساتلية غير المشفرة، هو بالنسبة إلى الأنظمة عند GHz 14/11 والتي تعمل في المناطق المناخية الأوروبية، الاحتمال BEP "طويل الأجل". وهذا يعود إلى أن الفرق في النسب C/N المطلوبة عند دخل مفكك الشفرة للمحطة الأرضية من أجل الحصول على احتمالين BEP من 10^{-7} و 10^{-3} هو أكبر من الفرق المقابل المتوقع بين سويات الخبر بين 0,2% و 10% من الشهر الأسوأ (الإجمالي).

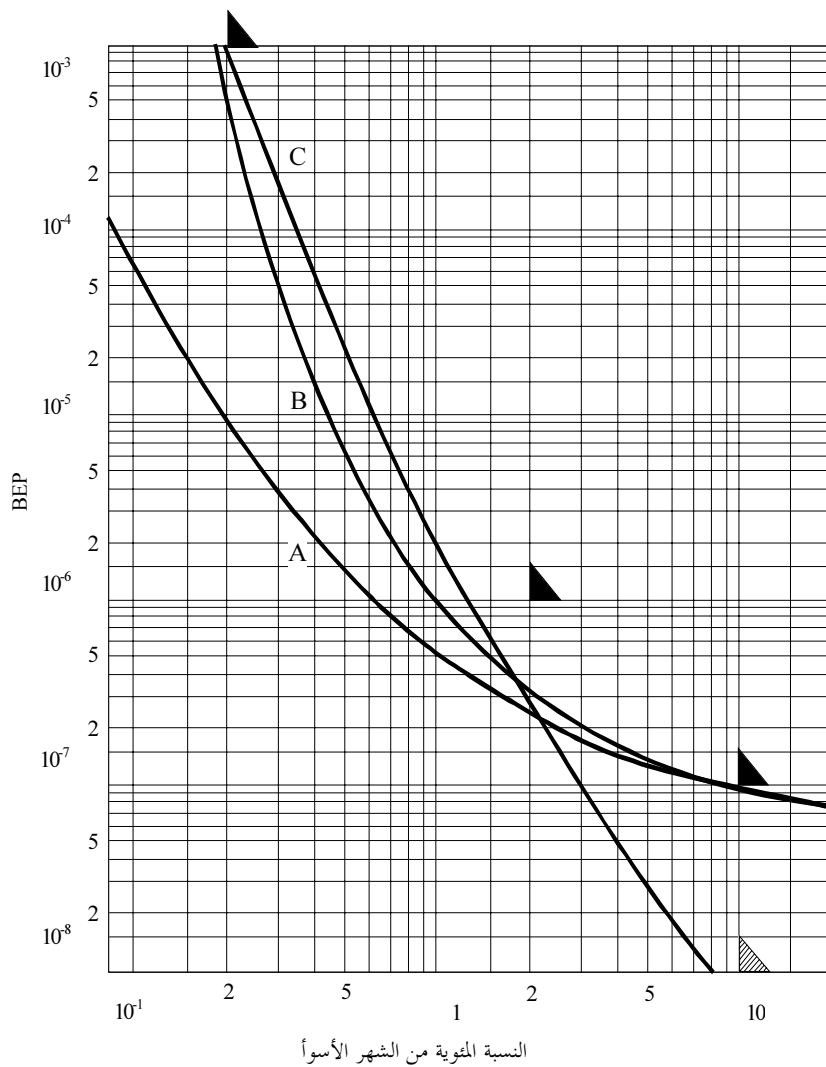
ويبيّن الشكل 21 (المحنيان A و B)، على سبيل المثال، أداء نظام يشغل في النطاق GHz 14/11 و تكون خصائصه على نحو يستحباب فيه للمقاييس طويل المدى الذي يساوي 10^{-7} . ويتعلق المحنيان A و B بالأداء معبراً عنه بالنسبة المئوية من الوقت، عندما يتأثر النظام بإحصائيات الانتشار النموذجية للمناخ الساحلي الأوروبي (المحني A) والمناخ الألبي-المتوسطي (المحني B).

وعندما يستعمل التصحيح FEC، يتطلب الوضع تحليلًا أكثر دقة. فمن ناحية، يكون الفرق في النسب $(C/N + I)$ المطلوبة عند دخل مفكك الشفرة من أجل سوية الاحتمال BER أصغر ما هو عليه في الحالة غير المشفرة بسبب كسب التشفير، وهذا يعني تقييد التصميم من خلال الشروط قصيرة المدى، ومن ناحية أخرى، فإن تحقيق أداء أفضل من معدل BER بقيمة 10^{-7} ضروري أثناء نسبة 10% من الشهر الأسوأ بهدف تعويض حدوث الأخطاء على رشقات، وهذا ما يفرض شروطًا لأداء أعلى في ظروف السماء الصافية.

ويمثل الشكلان 21 و 22 هذا الوضع: فيبيّن الشكل 21 (المحني C) أداء وصلة ساتلية مع الشفرة الفدرية BCH 7/8 بينما يبيّن الشكل 22 (المحنيان A و B) أداء وصلة مشفرة تشفيرًا تلافيًا مع معدل التصحيح $FEC\ 1/2\ and\ 3/4$ ، على التوالي، عندما تحدد أبعاد النظام بهدف الاستجابة للمقاييس قصير الأجل فيما يتعلق بإحصائيات الانتشار للمناخ الألبي-المتوسطي الذي يمثل أسوأ حالة في أوروبا.

الشكل 21

أداء نظام يشغل في النطاق GHz 14/11 وهو مصمم
من أجل الاستجابة لأهداف هذه التوصية



القيم الموصى بها في هذه التوصية

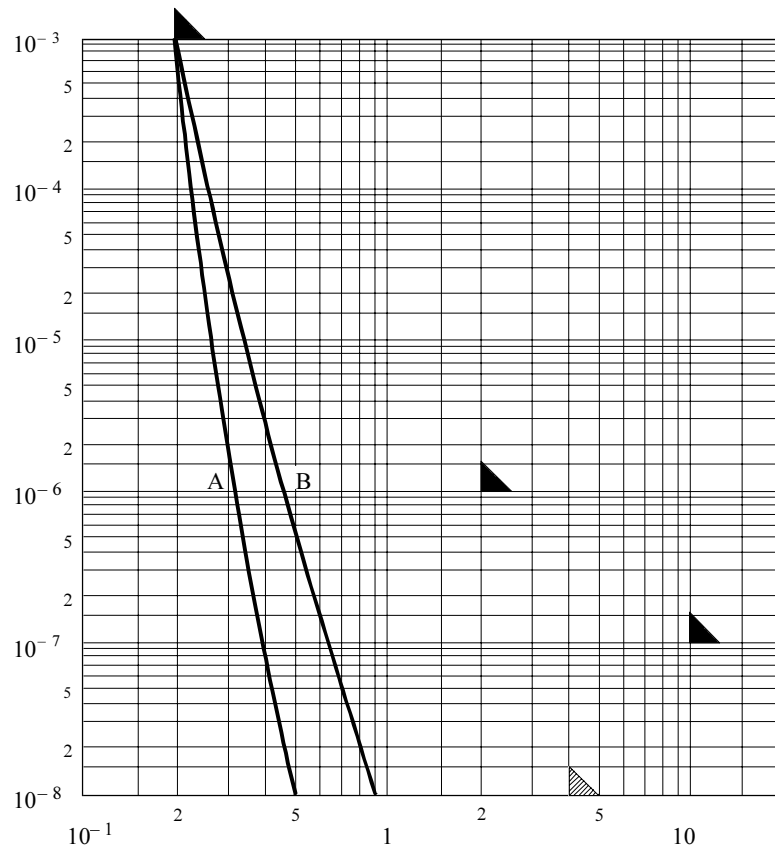
BCH الشفير

مناخ أوروبي ساحلي
مناخ ألماني متوسطي
مناخ ألماني متوسطي

المنحنى A: لا تصحيح FEC
المنحنى B: لا تصحيح FEC
المنحنى C: الشفرة 7/8 BCH مع تصحيح FEC

الشكل 22

أداء نظام يشغل في النطاق GHz 14/11 وهو مصمم
من أجل الاستجابة لأهداف هذه التوصية



النسبة المئوية من الشهر الأسوأ

القيم الموصى بها في هذه التوصية

تشغيل تلافيي

المنحنى A: تصحيح FEC تلافيي بمعدل 1/2 مناخ ألي متوسطي
المنحنى B: تصحيح FEC تلافيي بمعدل 3/4 مناخ ألي متوسطي

تناقش هذه الفقرة خصائص توزيع الأخطاء في أنظمة الاتصالات الساتلية التي تستعمل عدة أنماط من التصحيح FEC كما تناقش تأثيرات هذه الخصائص على الدقائق المنحطة (DM) والثواني شديدة الأخطاء (SES) والثواني الخاطئة (ES) المستخدمة لتعريف التوصية ITU-T G.821 والتي قد تم تحليلها.

- يسبب التصحيح FEC والتشفير الفوري والتشفير التلافيي أخطاء تميز بتوزيع بالر Shackets.
 - قد يكون احتمال الدقائق المنحطة (DM) في النظام FEC أكبر مما يكون عليه في النظام بدون تصحيح FEC وفقاً للمعدل BER نفسه.
 - ليس ثمة فارق ملحوظ في احتمال الثواني شديدة الأخطاء (SES) للمعدل BER نفسه، أكان التصحيح FEC مستعملاً أم غير مستعمل.
 - يكون احتمال الثواني الخاطئة (ES) أقل في النظام FEC مما هو عليه في النظام بدون تصحيح FEC من أجل المعدل BER نفسه.
 - قد يتناقض تأثير رشكات الأخطاء عندما تتضمن الوصلة الساتلية عدداً من القنوات متعددة الإرسال.
 - يمكن محاكاة توزيع الأخطاء بالسماذج الرياضية بواسطة تجديد توزيع بواسون. ويحتاج هذا البند إلى دراسة لاحقة.
-